

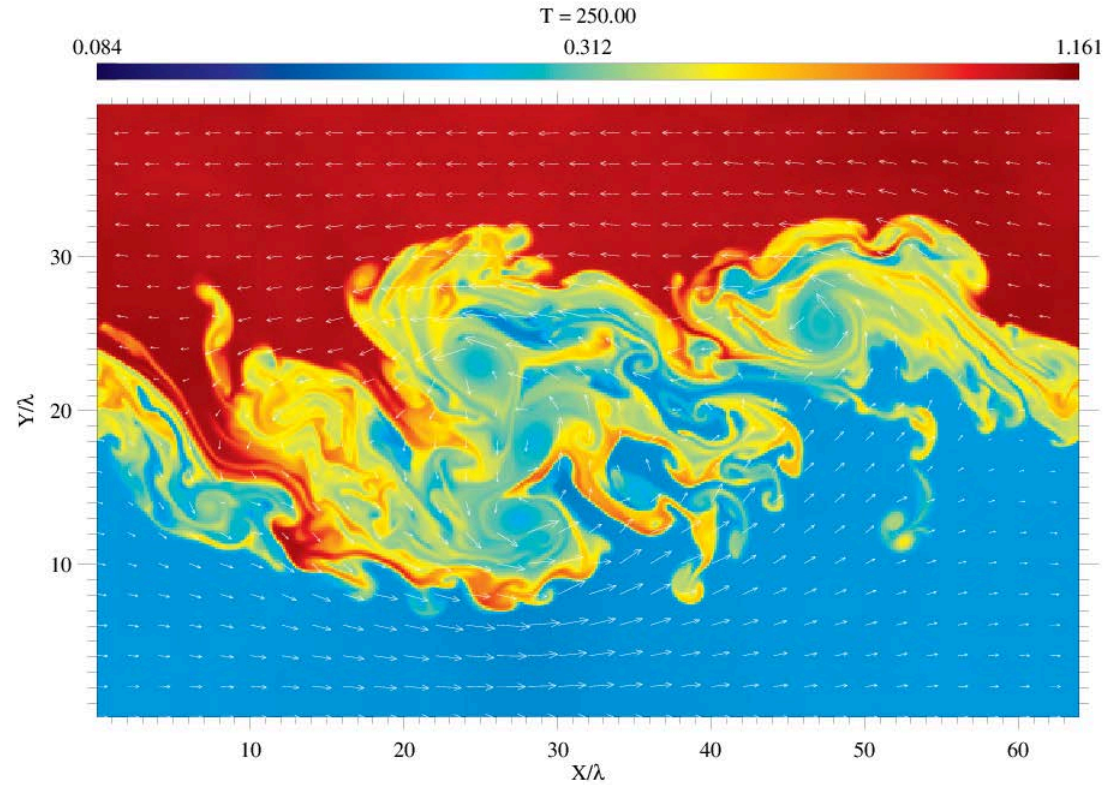
MHDシミュレーションの 高次精度化と多次元化

簗島 敬（海洋研究開発機構）

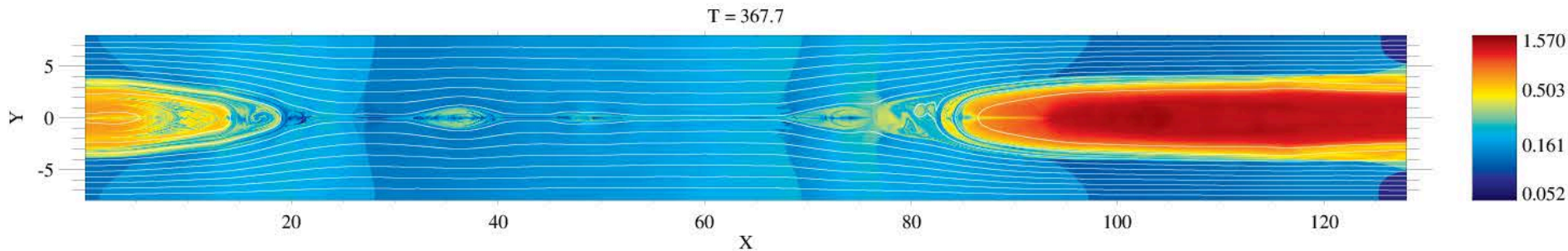
ケルビン・ヘルムホルツ不安定

内容

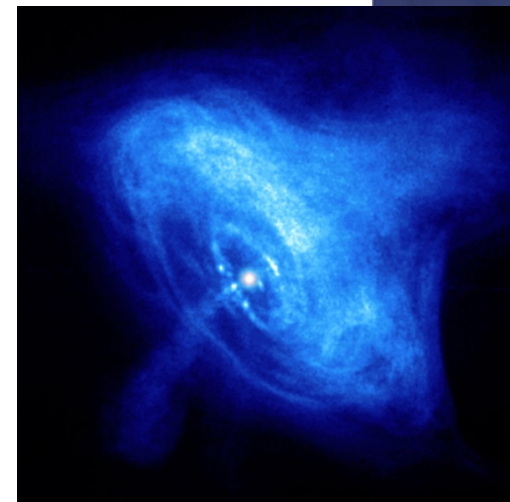
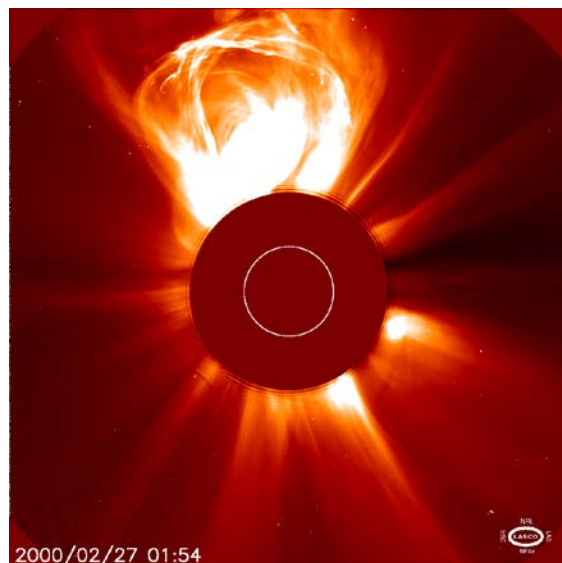
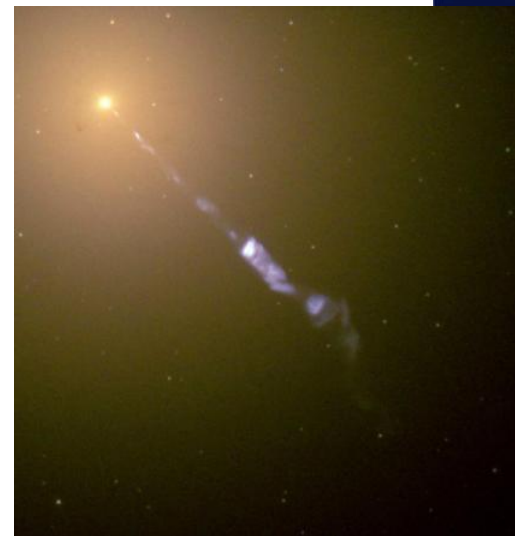
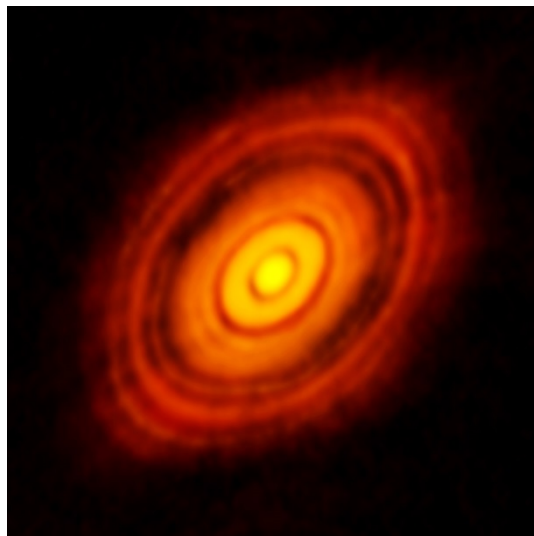
- ◎ 高解像度磁気流体シミュレーションのための技術を学ぶ



磁気リコネクション



宇宙流体



- ◎ 高速流、非一樣性、壓縮性
- ◎ 希薄、低粘性、低電氣抵抗
- ◎ 磁場、輻射、相對論

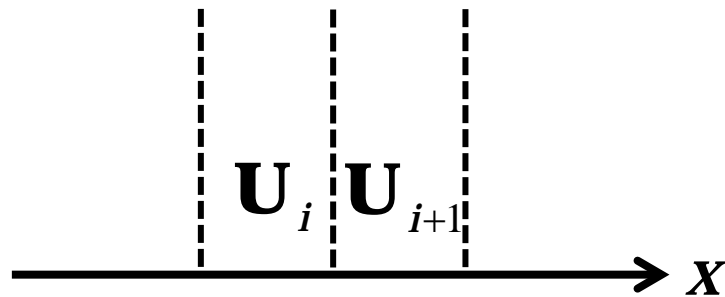
MHDシミュレーションの基本

$$\frac{\partial \mathbf{U}}{\partial t} + \frac{\partial \mathbf{F}}{\partial x} = 0, \Rightarrow \mathbf{U}_i^{n+1} = \mathbf{U}_i^n - \Delta t \frac{\mathbf{F}_{i+1/2} - \mathbf{F}_{i-1/2}}{\Delta x}.$$

\mathbf{U} : 保存量ベクトル (密度、運動量、磁場、エネルギー)

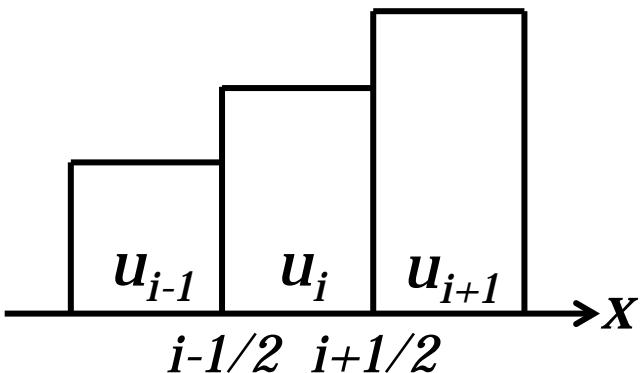
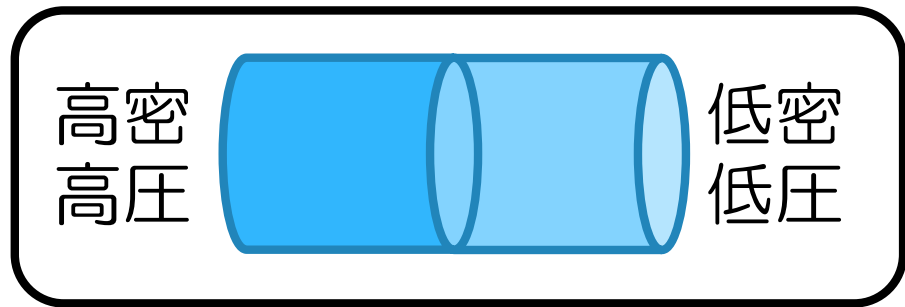
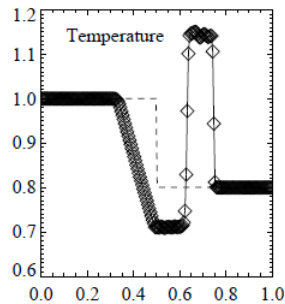
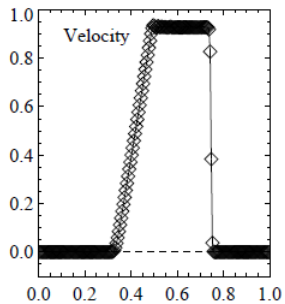
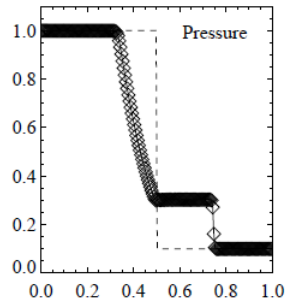
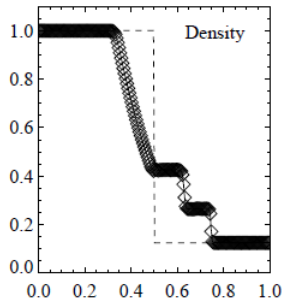
\mathbf{F} : 流束ベクトル

$$\mathbf{F}_{i+1/2} = \text{Riemann}(\mathbf{U}_i, \mathbf{U}_{i+1}).$$



Riemann: 衝撃波管問題を解く (近似)
リーマンソルバ。Roe, HLL, HLLD, など

衝撃波管問題とリーマンソルバ



- 衝撃波管問題：異なる状態の流体を仕切りで分けて、仕切りを取り去った後の状態を求める物理問題
- リーマンソルバ：セル i , $i+1$ を異なる状態、 $i+1/2$ を仕切りとみなして、衝撃波管問題を解く数値手法

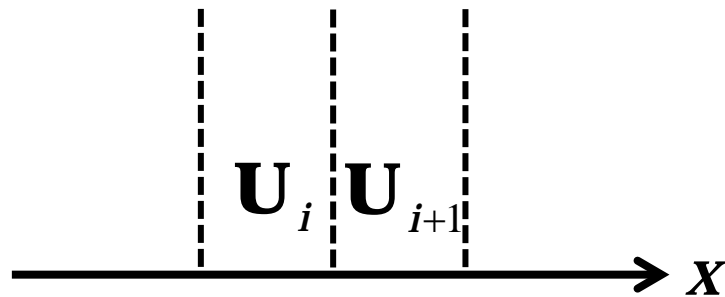
MHDシミュレーションの実用化

$$\frac{\partial \mathbf{U}}{\partial t} + \frac{\partial \mathbf{F}}{\partial x} = 0, \Rightarrow \mathbf{U}_i^{n+1} = \mathbf{U}_i^n - \Delta t \frac{\mathbf{F}_{i+1/2} - \mathbf{F}_{i-1/2}}{\Delta x}.$$

\mathbf{U} : 保存量ベクトル (密度、運動量、磁場、エネルギー)

\mathbf{F} : 流束ベクトル

$$\mathbf{F}_{i+1/2} = \text{Riemann}(\mathbf{U}_i, \mathbf{U}_{i+1}).$$



◎ 高次精度化

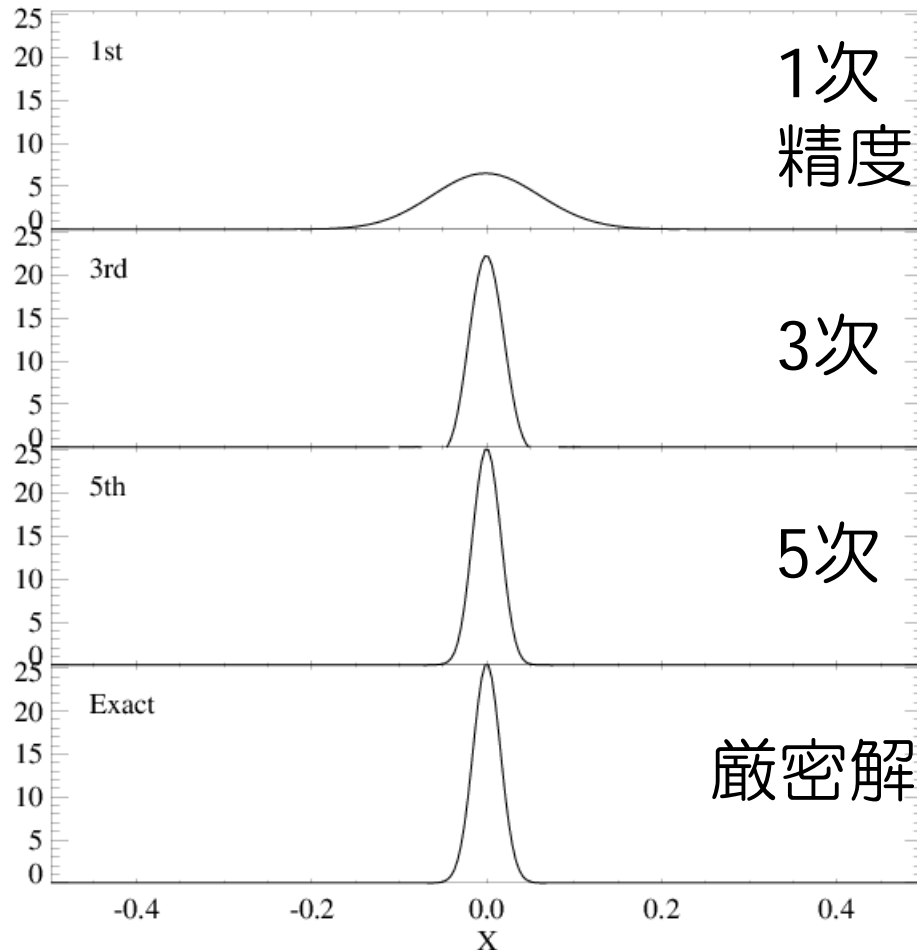
◎ 多次元化

$$\longrightarrow \frac{\partial \mathbf{U}}{\partial t} + \frac{\partial \mathbf{F}}{\partial x} + \frac{\partial \mathbf{G}}{\partial y} + \frac{\partial \mathbf{H}}{\partial z} = 0$$

高次精度化とは

$$\frac{\partial u}{\partial t} + c \frac{\partial u}{\partial x} = 0, \quad (c = \text{const})$$

$T = 1.00$



- 物理量プロファイルを高次関数で近似して、高解像度の解を得る

$$u(\Delta x) \sim u(0) + u'(0)\Delta x,$$

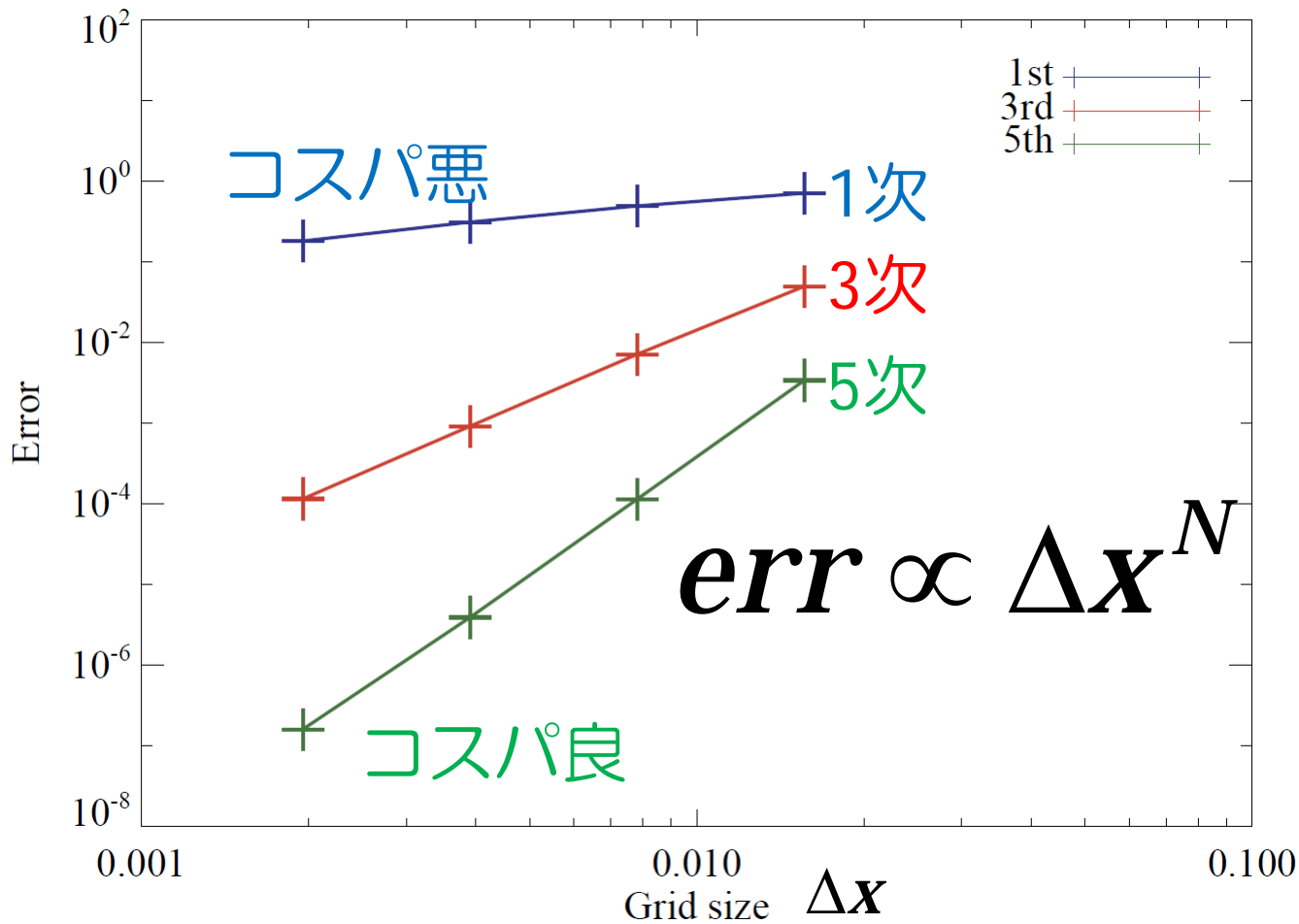
↑ 1次

$$u(\Delta x) \sim u(0) + u'(0)\Delta x$$
$$+ u''(0)\Delta x^2 / 2$$
$$+ u'''(0)\Delta x^3 / 6,$$

↑ 3次

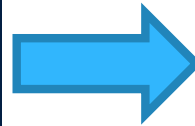
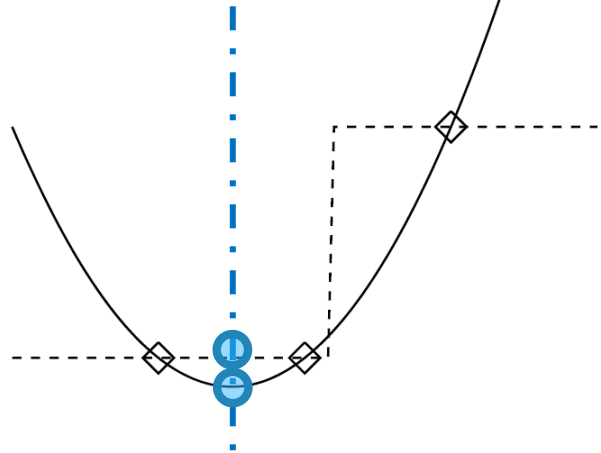
高次精度化の必要性

N次精度スキームの誤差

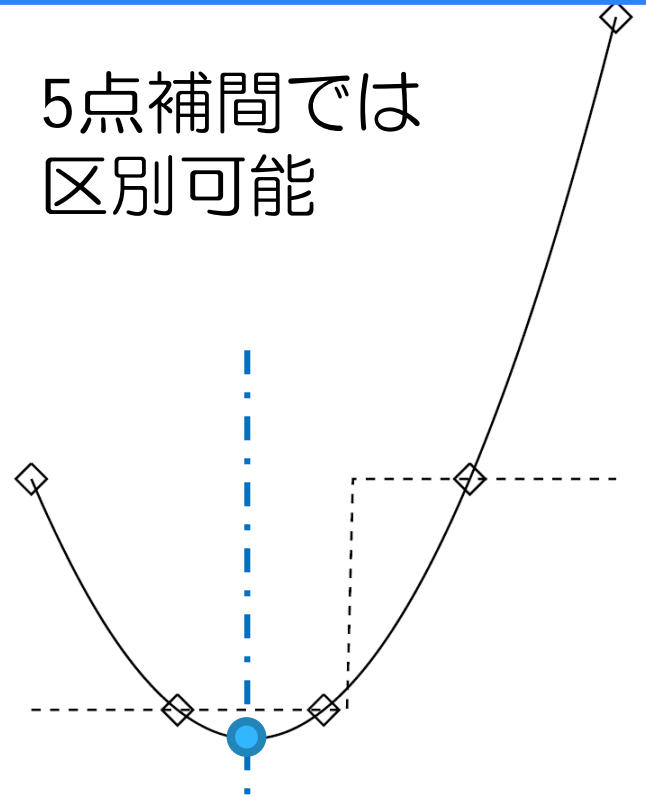


高次精度化の必要性

3点補間では実線と点線の区別がつかない...



5点補間では区別可能

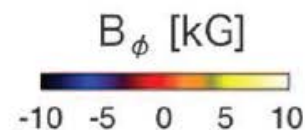
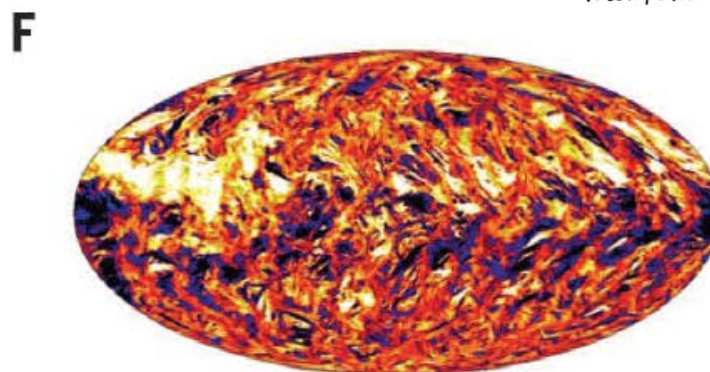
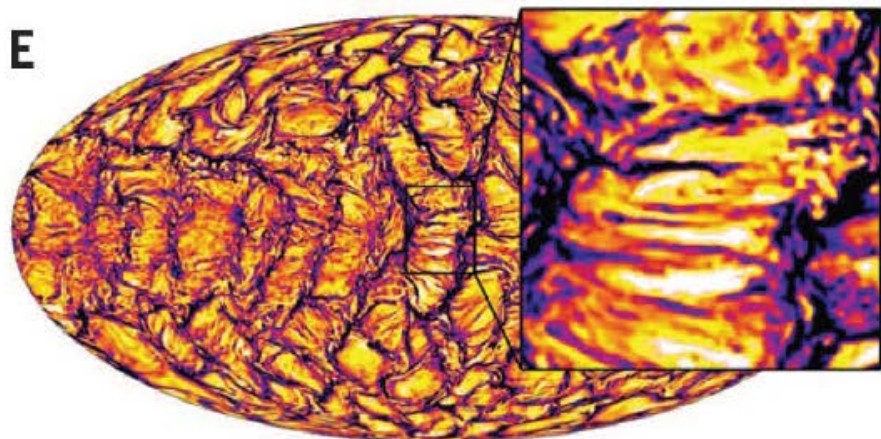


- ◎ ステンシルを広げてプロファイルを正確に再現

高次精度化の必要性

- 数値的な散逸を抑え、細かな構造を表現
 - 計算グリッドを増やす
 - 計算スキームを高次精度化する

超高解像度太陽ダイナモ計算 (Hotta+16)



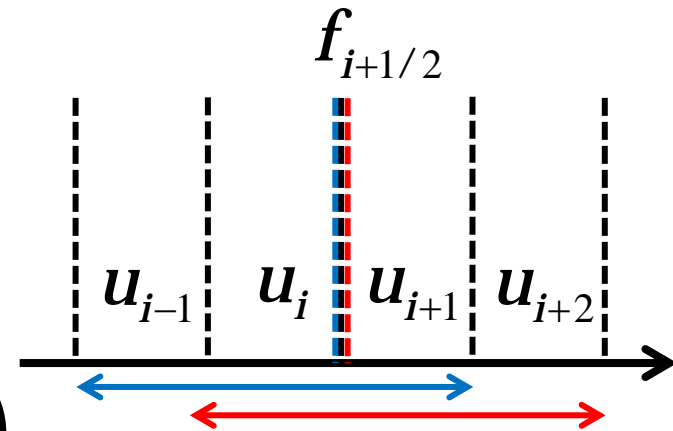
スカラー方程式の高次精度化例

$$\frac{\partial u}{\partial t} + \frac{\partial f}{\partial x} = 0, \quad f = cu \Rightarrow \frac{du_i}{dt} = -\frac{f_{i+1/2} - f_{i-1/2}}{\Delta x}. \quad c = \text{一定}$$

例：線形3次精度

$$\underline{u_{i+1/2}^L = (-u_{i-1} + 5u_i + 2u_{i+1})/6}$$

$$\underline{u_{i+1/2}^R = (-u_{i+2} + 5u_{i+1} + 2u_i)/6}$$



$$f_{i+1/2} = \text{Riemann}(cu_{i+1/2}^L, cu_{i+1/2}^R)$$

$$= \begin{cases} \underline{cu_{i+1/2}^L}, & \text{if } c > 0 \\ \underline{cu_{i+1/2}^R}, & \text{if } c \leq 0 \end{cases} \quad \text{風上化}$$

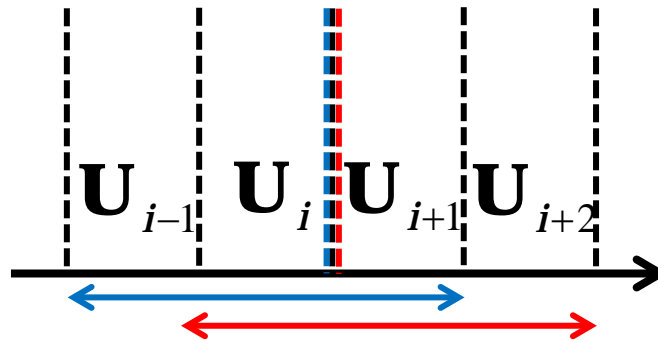
流体シミュレーションの高次精度化例

$$\frac{\partial \mathbf{U}}{\partial t} + \frac{\partial \mathbf{F}}{\partial x} = 0, \Rightarrow \frac{d\mathbf{U}_i}{dt} = -\frac{\mathbf{F}_{i+1/2} - \mathbf{F}_{i-1/2}}{\Delta x}.$$

\mathbf{U} : 保存量ベクトル

\mathbf{F} : 流束ベクトル

$$\mathbf{F}_{i+1/2} = \text{Riemann}(\mathbf{U}_{i+1/2}^L, \mathbf{U}_{i+1/2}^R).$$



例えば線形3次精度

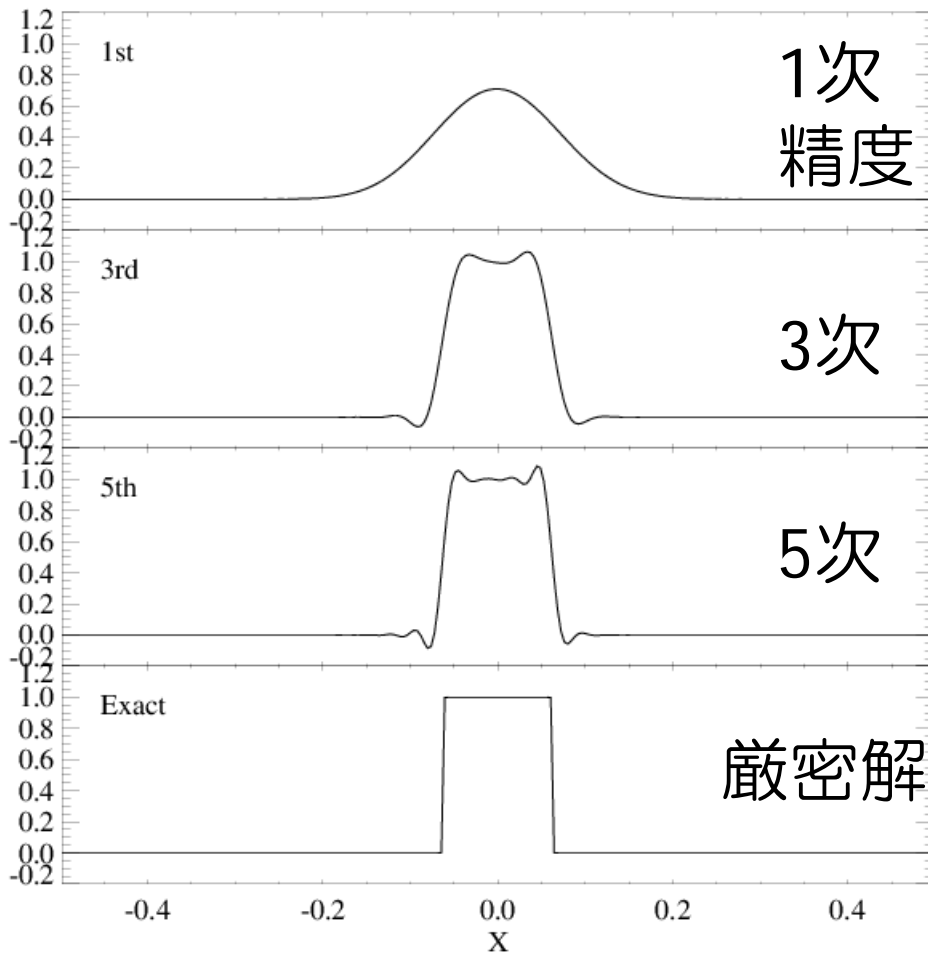
$$\mathbf{U}_{i+1/2}^L = (-\mathbf{U}_{i-1} + 5\mathbf{U}_i + 2\mathbf{U}_{i+1})/6$$

$$\mathbf{U}_{i+1/2}^R = (-\mathbf{U}_{i+2} + 5\mathbf{U}_{i+1} + 2\mathbf{U}_i)/6$$

高次精度化の欠点

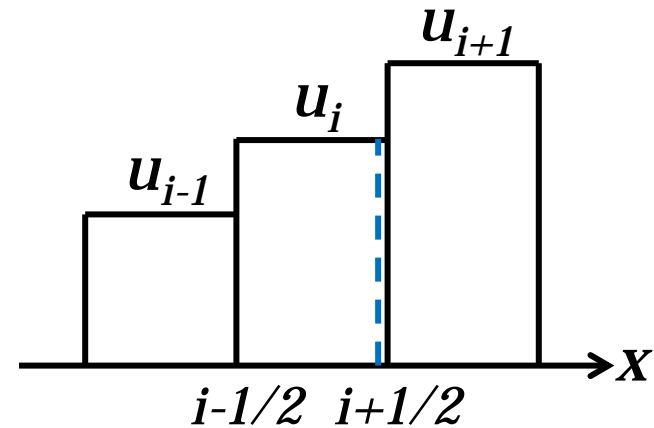
$$\frac{\partial u}{\partial t} + c \frac{\partial u}{\partial x} = 0, \quad (c = \text{const})$$

$T = 1.00$



- ◎ 不連続面近傍の数値振動
- ◎ 「線形2次以上スキームは解の単調性を維持できない」 (Godunovの定理)
- ◎ 非線形スキームの導入

非線形スキーム



- 場所によって精度が異なる

$$\mathbf{U}_{i+1/2}^L = (-\mathbf{U}_{i-1} + 5\mathbf{U}_i + 2\mathbf{U}_{i+1}) / 6$$

⇓

線形スキーム
係数がどこでも-1:5:2

$$\mathbf{U}_{i+1/2}^L = (c_i^L \mathbf{U}_{i-1} + c_i^C \mathbf{U}_i + c_i^R \mathbf{U}_{i+1}).$$

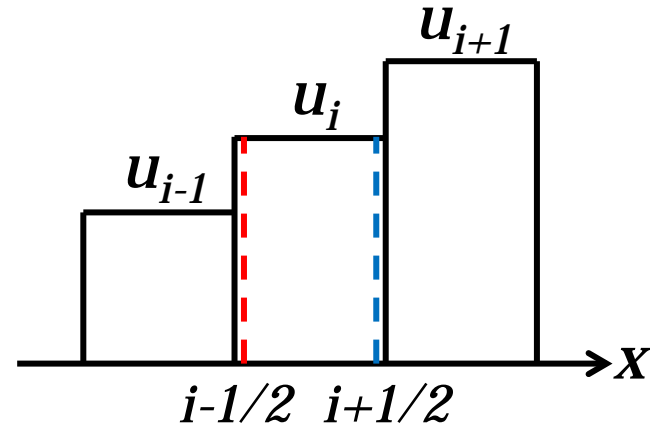
非線形スキーム
周囲の状況に応じて c_i を適切に決める

非線形スキーム

- ◎ **低精度**@不連続面付近 (衝撃波)
- ◎ **高精度**@滑らかな領域 (乱流)

- ◎ Monotone Upstream-centered Schemes for Conservation Laws (MUSCL; van Leer 1979, CANS+に実装)
- ◎ Weighted Essentially Non-Oscillatory scheme (WENO; Jiang+ 1996)
- ◎ Monotonicity Preserving scheme (MP; Suresh+ 1997, CANS+に実装)

MUSCL法



- セル平均値 (既知)

$$u_i = \frac{1}{\Delta x} \int_{x_{i-1/2}}^{x_{i+1/2}} u(x) dx,$$

- テーラー展開に基づくセル*i*内の分布

$$u(x) = u(x_i) + u_i'(x_i)(x - x_i) + u_i''(x_i)(x - x_i)^2 / 2 + \dots$$

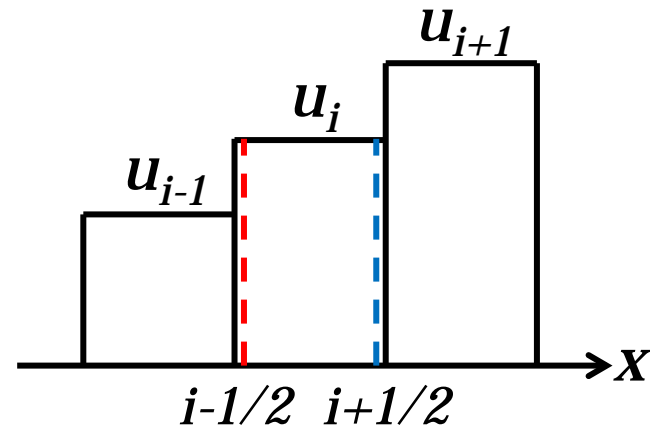
$$\approx u_i + \frac{x - x_i}{2\Delta x} (u_{i+1} - u_{i-1}) + \frac{3\kappa}{2\Delta x^2} \left[(x - x_i)^2 - \frac{\Delta x^2}{12} \right] (u_{i+1} - 2u_i + u_{i-1}),$$

- セル境界値

$$u_{i+1/2}^L = u(x_{i+1/2}) = u_i + \frac{1-\kappa}{4} (u_i - u_{i-1}) + \frac{1+\kappa}{4} (u_{i+1} - u_i),$$

$$u_{i-1/2}^R = u(x_{i-1/2}) = u_i - \frac{1-\kappa}{4} (u_{i+1} - u_i) - \frac{1+\kappa}{4} (u_i - u_{i-1}),$$

MUSCL法



◎ 流束制限関数 Φ の導入

$$u_{i-1} < \underline{u_{i-1/2}^R} < u_i < \underline{u_{i+1/2}^L} < u_{i+1}$$

- 極値の発生を禁止

$$u_{i+1/2}^L = u_i + \frac{1-\kappa}{4} \Phi(r)(u_i - u_{i-1}) + \frac{1+\kappa}{4} \Phi(1/r)(u_{i+1} - u_i),$$

$$u_{i-1/2}^R = u_i - \frac{1-\kappa}{4} \Phi(1/r)(u_{i+1} - u_i) - \frac{1+\kappa}{4} \Phi(r)(u_i - u_{i-1}),$$

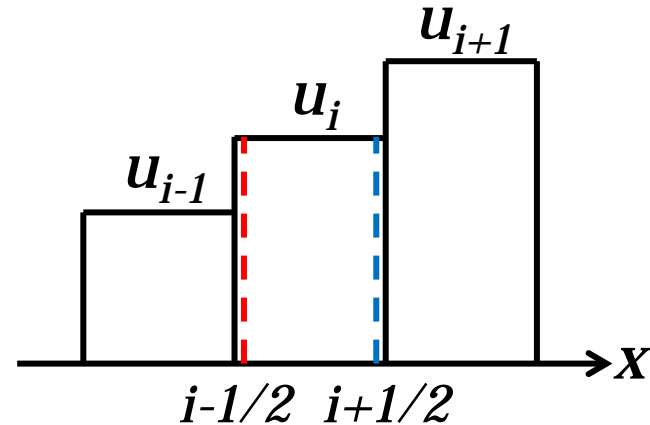
$$r = (u_{i+1} - u_i) / (u_i - u_{i-1}),$$

◎ 代表的な場合： $\Phi(r) = r \Phi(1/r)$, $\kappa = -1$

$$u_{i+1/2}^L = u_i + \Phi(r)(u_i - u_{i-1}) / 2,$$

$$u_{i-1/2}^R = u_i - \Phi(1/r)(u_{i+1} - u_i) / 2.$$

2次MUSCL法



◎ 流束制限関数

■ MinMod

$$\Phi(r) = \max[0, \min(1, r)],$$

$$\underline{u_{i+1/2}^L = u_i + du_i / 2, u_{i-1/2}^R = u_i - du_i / 2,}$$

$$\underline{du_i = MM(u_{i+1} - u_i, u_i - u_{i-1})},$$

sgn(x): xの符号

$$MM(x, y) = \text{sgn}(x) \max[0, \min(|x|, \text{sgn}(x)y)].$$

■ Monotonized Central

$$\Phi(r) = \max[0, \min(2r, 0.5(1+r), 2)],$$

$$\underline{u_{i+1/2}^L = u_i + du_i / 2, u_{i-1/2}^R = u_i - du_i / 2,}$$

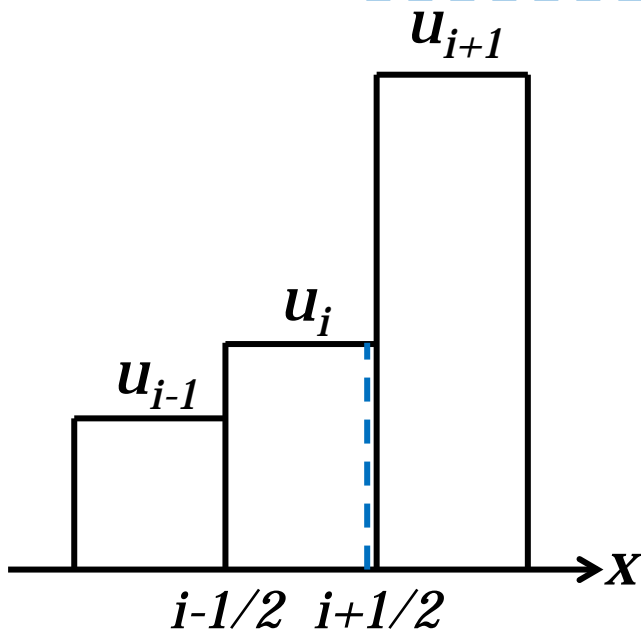
$$\underline{du_i = MC(2(u_{i+1} - u_i), 2(u_i - u_{i-1}), (u_{i+1} - u_{i-1}) / 2)},$$

$$MC(x, y, z) = MM(x, MM(y, z)).$$

du_i : セル*i*内の勾配
の候補値の内、最も
滑らかなものorゼロ

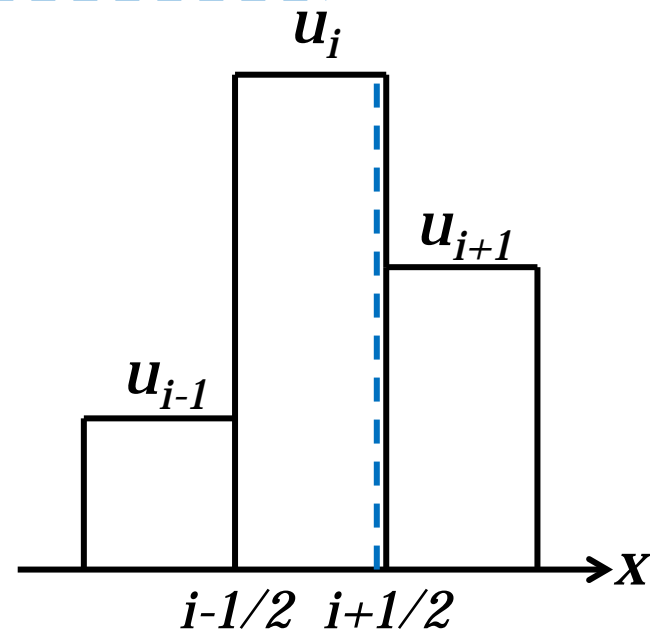
MUSCL-MinMod

$$u_{i+1/2}^L = u_i + du_i / 2.$$



$$|u_i - u_{i-1}| < |u_{i+1} - u_i|$$

$$\Rightarrow \underline{du_i = u_i - u_{i-1}}$$

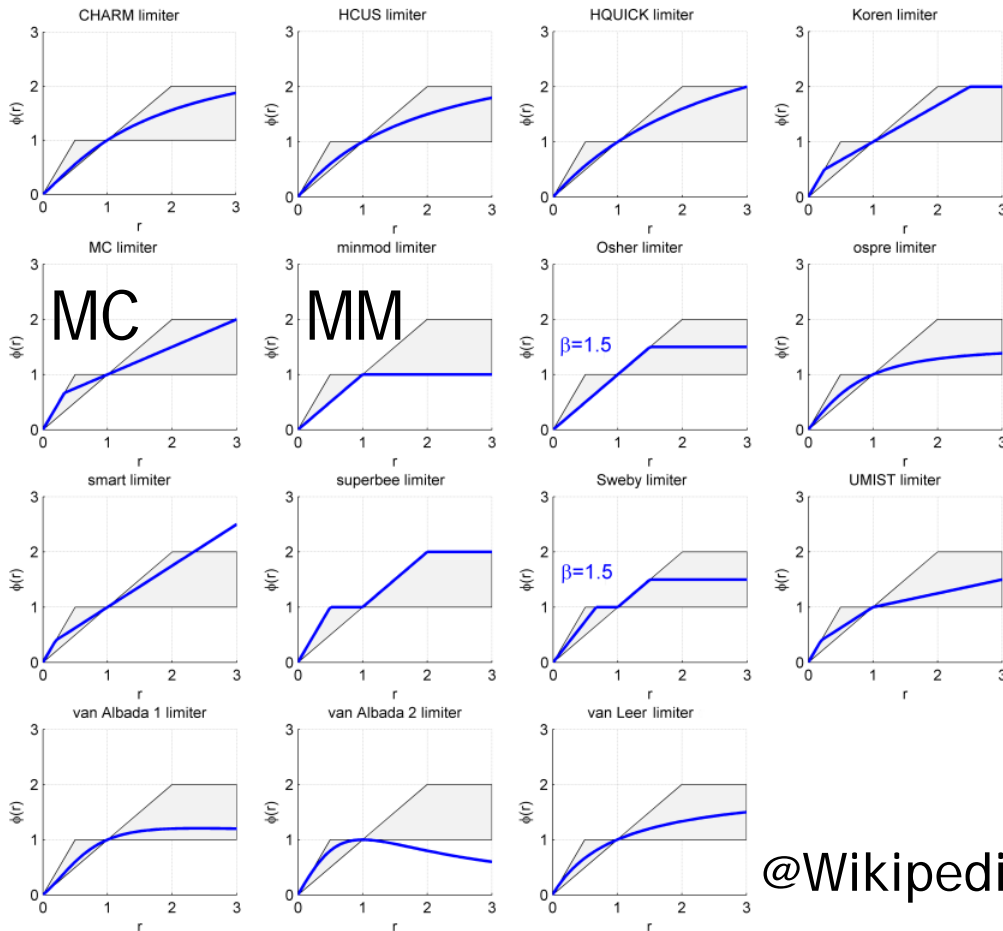


$$(u_i - u_{i-1})(u_{i+1} - u_i) < 0$$

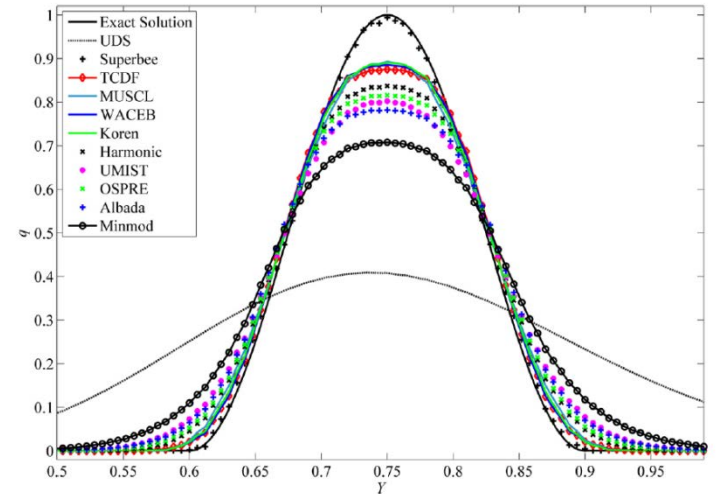
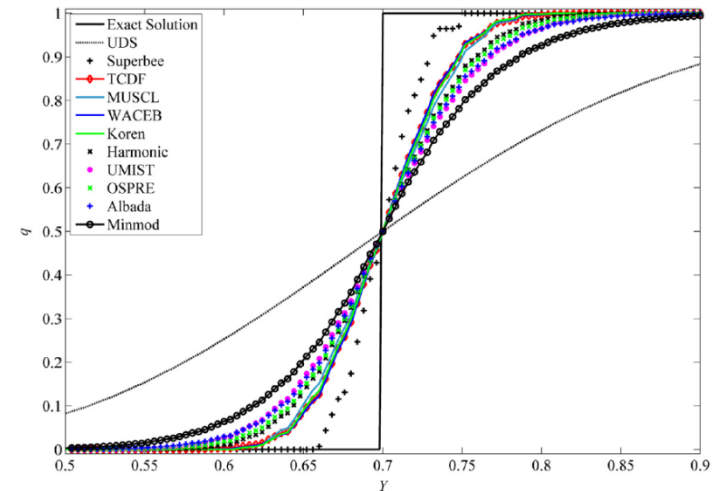
$$\Rightarrow \underline{du_i = 0}$$

様々な流束制限関数

“Flux limiter” makes the solution Total Variation Diminishing (TVD)

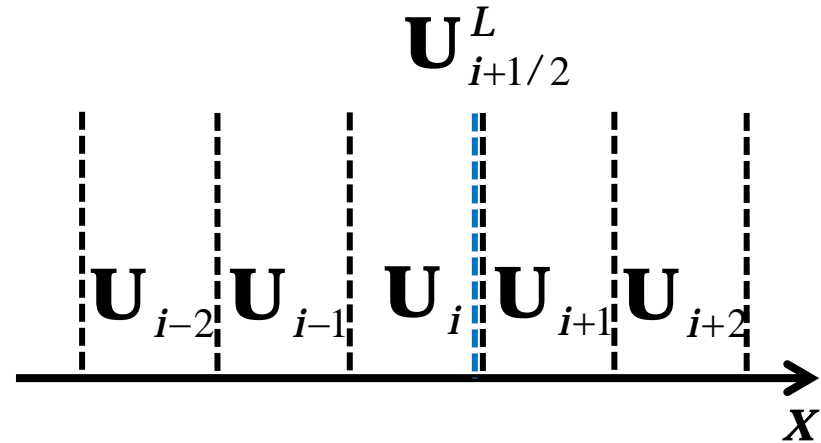


Zhang+15



@Wikipedia

MP5法

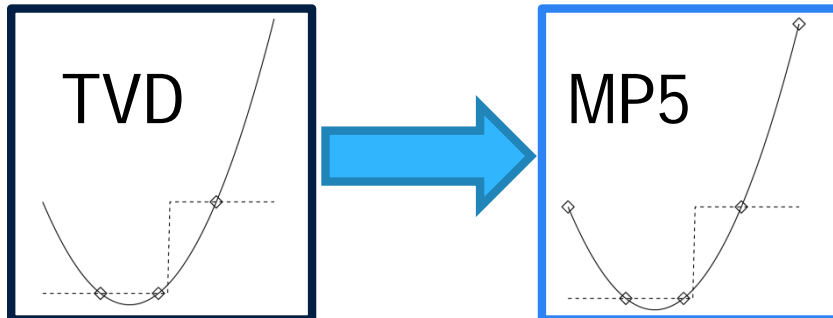


◎ 線形5点補完

$$\mathbf{U}_{i+1/2}^L = (2\mathbf{U}_{i-2} - 13\mathbf{U}_{i-1} + 47\mathbf{U}_i + 27\mathbf{U}_{i+1} - 3\mathbf{U}_{i+2}) / 60,$$

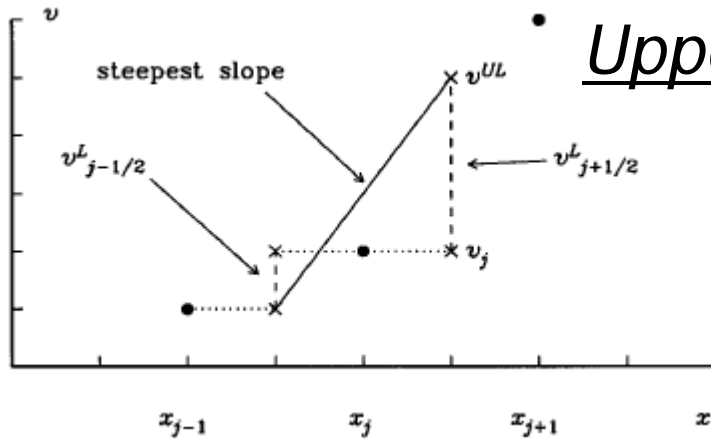
◎ 周囲の幾つかの候補値と比較し、中央値を取る

- 単調性維持 (数値振動の抑制)
- 極値の保持 (MUSCL等のTVDスキームの改良)



MP5法

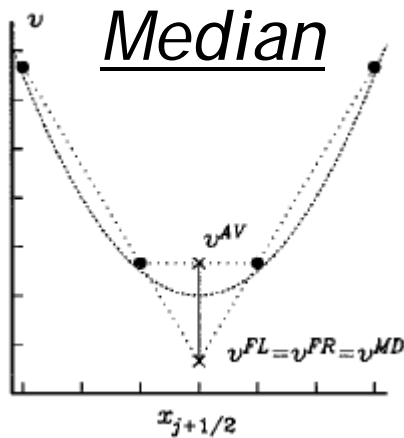
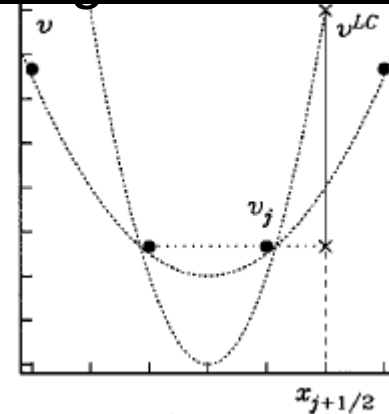
詳細はSuresh+97



Upper limit

$$\mathbf{U}^{UL} = \mathbf{U}_i + \alpha(\mathbf{U}_i - \mathbf{U}_{i-1}), \alpha \geq 2$$

Large curvature



Median

$$\mathbf{U}^{LC} = \mathbf{U}_i + (\mathbf{U}_i - \mathbf{U}_{i-1})/2 + 4\mathbf{d}_{i-1/2}^{MM}/3,$$

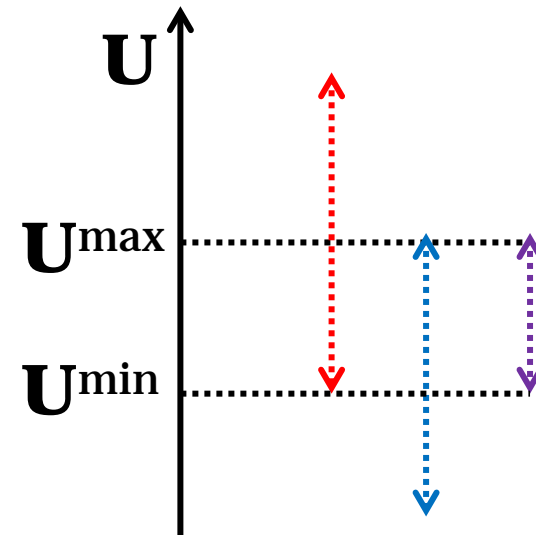
$$\mathbf{d}_{i-1/2}^{MM} = MM(\mathbf{U}_i + \mathbf{U}_{i-2} - 2\mathbf{U}_{i-1},$$

$$\mathbf{U}_{i+1} + \mathbf{U}_{i-1} - 2\mathbf{U}_i).$$

$$\mathbf{U}^{MD} = \text{median}[(\mathbf{U}_i + \mathbf{U}_{i+1})/2,$$

$$\mathbf{U}_i + (\mathbf{U}_i - \mathbf{U}_{i-1})/2, \mathbf{U}_{i+1} - (\mathbf{U}_{i+2} - \mathbf{U}_{i+1})/2]$$

MP5法



◎ 単調性維持かつ極値の保持

$$\mathbf{U}_{i+1/2}^L \in \underline{I[\mathbf{U}_i, \mathbf{U}^{UL}, \mathbf{U}^{LC}]} \text{ and } \underline{I[\mathbf{U}_i, \mathbf{U}_{i+1}, \mathbf{U}^{MD}]},$$



$$\mathbf{U}_{i+1/2}^L = (2\mathbf{U}_{i-2} - 13\mathbf{U}_{i-1} + 47\mathbf{U}_i + 27\mathbf{U}_{i+1} - 3\mathbf{U}_{i+2}) / 60,$$

$$\mathbf{U}^{\max} = \min[\max(\mathbf{U}_i, \mathbf{U}_{i+1}, \mathbf{U}^{MD}), \max(\mathbf{U}_i, \mathbf{U}^{UL}, \mathbf{U}^{LC})],$$

$$\mathbf{U}^{\min} = \max[\min(\mathbf{U}_i, \mathbf{U}_{i+1}, \mathbf{U}^{MD}), \min(\mathbf{U}_i, \mathbf{U}^{UL}, \mathbf{U}^{LC})],$$

$$\mathbf{U}_{i+1/2}^L \leftarrow \text{median}(\mathbf{U}_{i+1/2}^L, \underline{\mathbf{U}^{\max}, \mathbf{U}^{\min}}).$$

時間更新

- ◉ 空間精度を上げた際は、時間精度も上げないと数値的に不安定
- ◉ ルンゲ・クッタ法: $\frac{dy}{dt} = f(y)$

1次

$$y^{n+1} = y^n + f(y^n)\Delta t.$$

2次 (2~3次手法で使用)

$$y^* = y^n + f(y^n)\Delta t,$$

$$y^{n+1} = \frac{y^n}{2} + \frac{1}{2}[y^* + f(y^*)\Delta t].$$

3次

$$y^* = y^n + f(y^n)\Delta t,$$

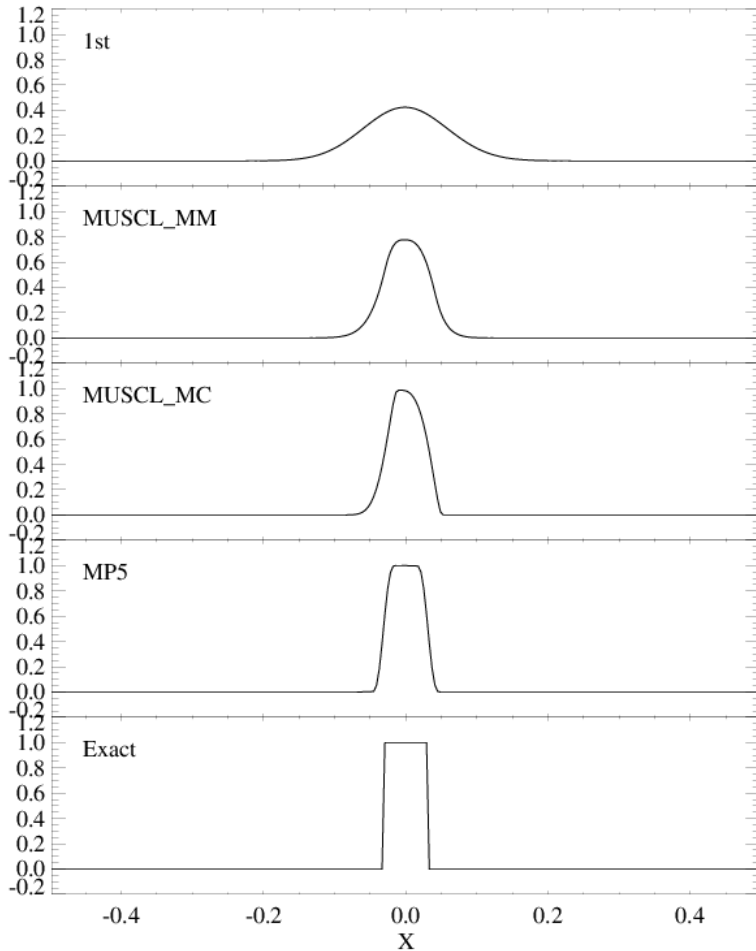
$$y^{**} = \frac{3}{4}y^n + \frac{1}{4}[y^* + f(y^*)\Delta t],$$

$$y^{n+1} = \frac{y^n}{3} + \frac{2}{3}[y^{**} + f(y^{**})\Delta t].$$

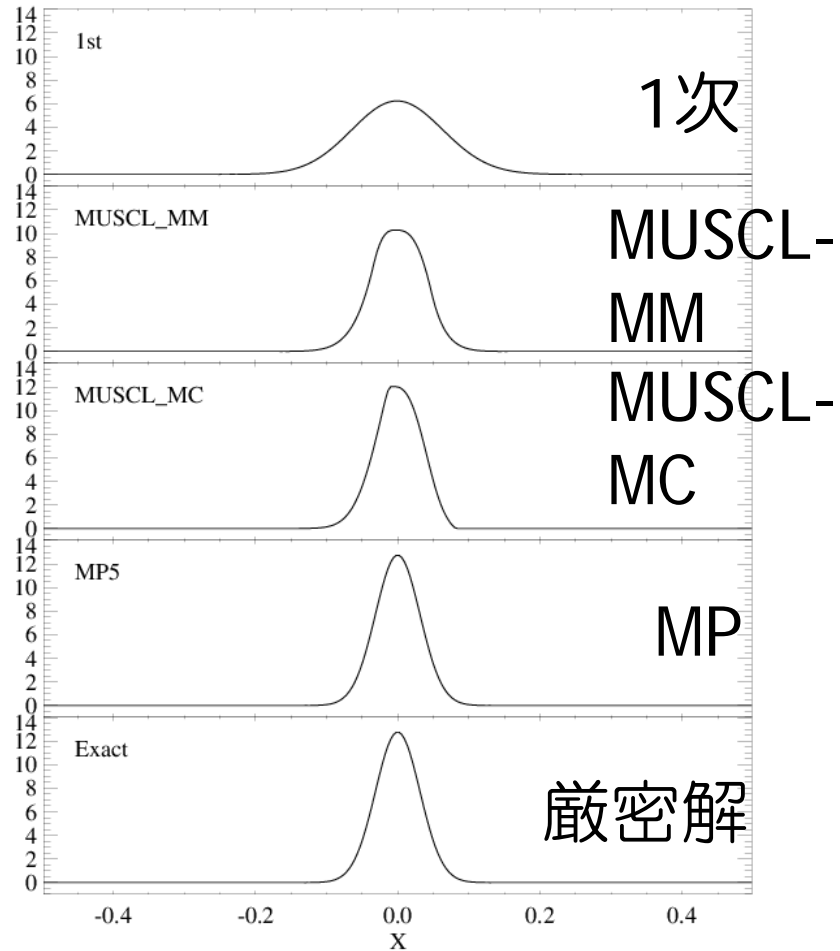
線形移流

$$\frac{\partial u}{\partial t} + c \frac{\partial u}{\partial x} = 0, \quad (c = \text{const})$$

T = 1.00



T = 1.00



1次元理想MHD方程式

$$\frac{\partial \mathbf{U}}{\partial t} + \frac{\partial \mathbf{F}}{\partial x} = 0,$$

$\mathbf{U} = (\rho, \rho u, \rho v, \rho w, B_y, B_z, e)^T$, ... 保存(conserved)変数

$$\mathbf{F} = \begin{pmatrix} \rho u \\ \rho u u - B_x B_x + p + \mathbf{B}^2 / 2 \\ \rho v u - B_x B_y \\ \rho w u - B_x B_z \\ B_y u - B_x v \\ B_z u - B_x w \\ (e + p + \mathbf{B}^2 / 2)u - B_x (\mathbf{u} \cdot \mathbf{B}) \end{pmatrix},$$

$$p = (\gamma - 1)(e - \rho \mathbf{u}^2 / 2 - \mathbf{B}^2 / 2),$$

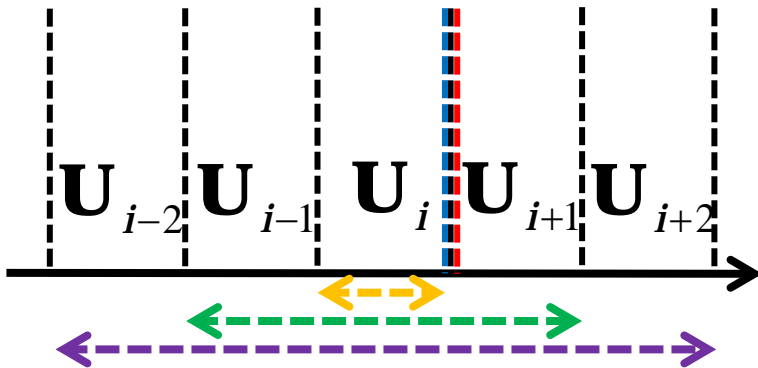
$$\nabla \cdot \mathbf{B} = 0 \Rightarrow B_x = \text{const},$$

$\mathbf{V} = (\rho, u, v, w, B_y, B_z, P)^T$ 基本(primitive)変数

1次元MHDシミュレーション

$$\frac{\partial \mathbf{U}}{\partial t} + \frac{\partial \mathbf{F}}{\partial x} = 0, \Rightarrow \frac{d\mathbf{U}_i}{dt} = -\frac{\mathbf{F}_{i+1/2} - \mathbf{F}_{i-1/2}}{\Delta x}.$$

$$\mathbf{F}_{i+1/2} = \text{Riemann}(\mathbf{U}_{i+1/2}^L, \mathbf{U}_{i+1/2}^R).$$



\mathbf{U} : 保存量ベクトル
 \mathbf{F} : 流束ベクトル

◎ 1次精度

$$\mathbf{U}_{i+1/2}^L = \mathbf{U}_i,$$

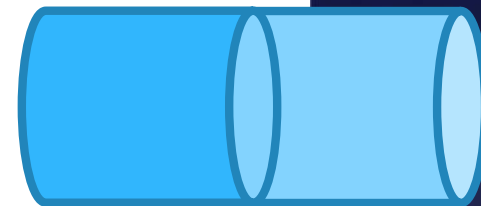
◎ 2次精度

$$\mathbf{U}_{i+1/2}^L = \text{MUSCL}(\mathbf{U}_{i-1}, \mathbf{U}_i, \mathbf{U}_{i+1}),$$

◎ 5次精度

$$\mathbf{U}_{i+1/2}^L = \text{MP}(\mathbf{U}_{i-2}, \mathbf{U}_{i-1}, \mathbf{U}_i, \mathbf{U}_{i+1}, \mathbf{U}_{i+2}).$$

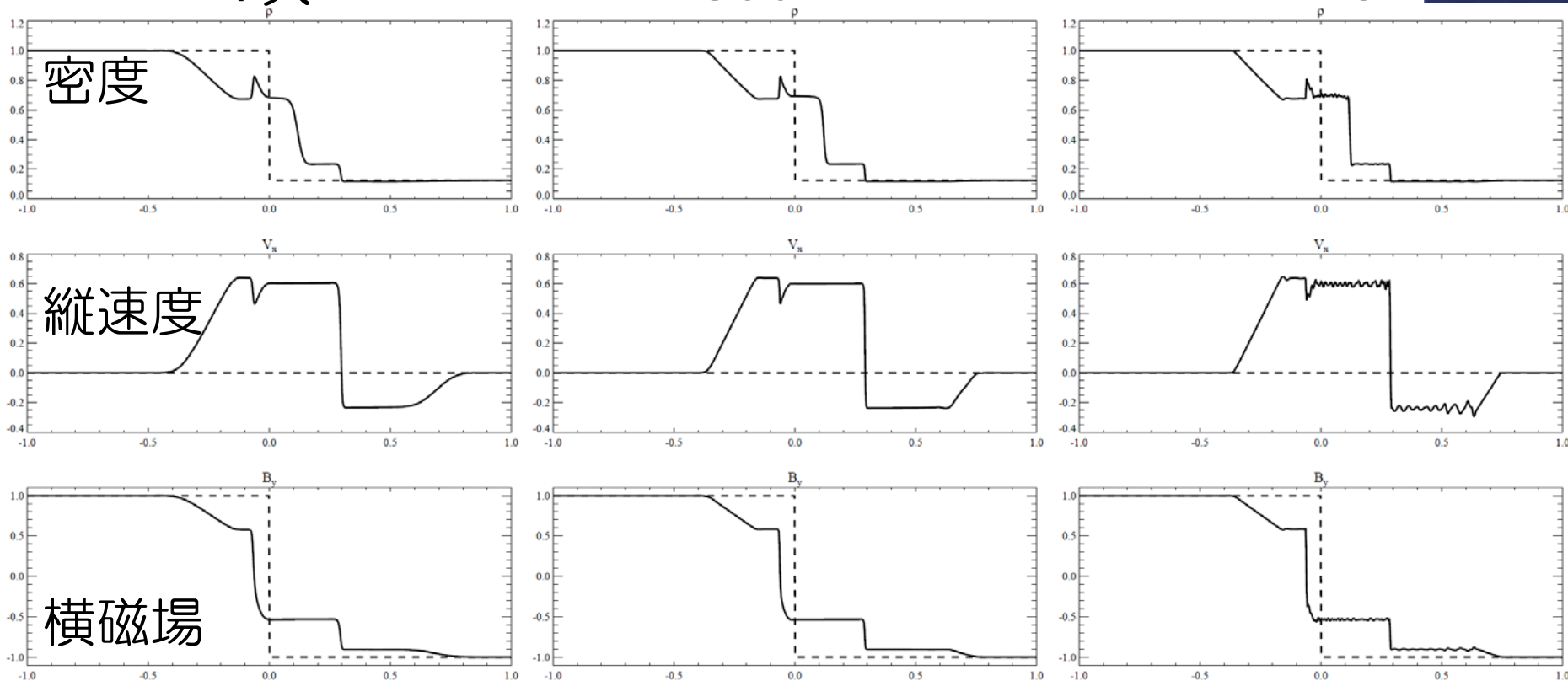
衝撃波管問題 (Brio+ 1988)



1次

MUSCL-MM

MP5



HLLD近似リーマン解法使用 (Miyoshi+ 2005)

双曲型保存則の性質

$$\frac{\partial \mathbf{U}}{\partial t} + \frac{\partial \mathbf{F}}{\partial x} = 0,$$

$$\Rightarrow \frac{\partial \mathbf{U}}{\partial t} + \mathbf{A} \frac{\partial \mathbf{U}}{\partial x} = \frac{\partial \mathbf{V}}{\partial t} + \mathbf{A}_p \frac{\partial \mathbf{V}}{\partial x} = 0, \quad \left(\mathbf{A} = \frac{\partial \mathbf{F}}{\partial \mathbf{U}} \right), \text{ ヤコビアン行列}$$

$$\Rightarrow \mathbf{L} \frac{\partial \mathbf{U}}{\partial t} + \mathbf{L} \mathbf{A} \mathbf{R} \frac{\partial \mathbf{U}}{\partial x} = \mathbf{L}_p \frac{\partial \mathbf{V}}{\partial t} + \mathbf{L}_p \mathbf{A}_p \mathbf{R}_p \mathbf{L}_p \frac{\partial \mathbf{V}}{\partial x} = 0, \quad (\mathbf{L} \mathbf{R} = \mathbf{L}_p \mathbf{R}_p = \mathbf{1}),$$

$$\Rightarrow \frac{\partial \mathbf{W}}{\partial t} + \mathbf{\Lambda} \frac{\partial \mathbf{W}}{\partial x} = 0, \quad (d\mathbf{W} = \mathbf{L} d\mathbf{U} = \mathbf{L}_p d\mathbf{V}, \mathbf{\Lambda} = \mathbf{L} \mathbf{A} \mathbf{R}). \text{ 非線形移流}$$

方程式

◎ 方程式の対角化

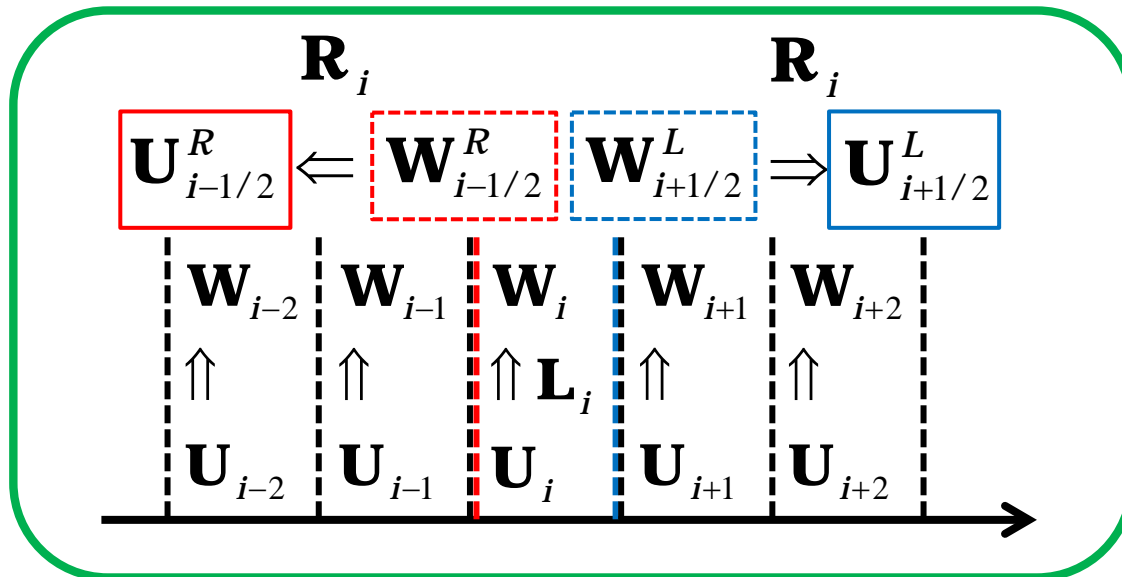
- \mathbf{L}, \mathbf{R} : \mathbf{A} の左右固有ベクトルを成分とする左右固有行列
- $\mathbf{\Lambda}$: 実数固有値を成分とする対角行列

◎ 特性量 $d\mathbf{W}$ は $\mathbf{\Lambda}$ に沿って一定 (リーマン不変量)

◎ 風上法に基づく補間は特性量に対して行いたい

特性変数変換

- 左右固有行列 $\mathbf{L}_i, \mathbf{R}_i$ (e.g., Ryu+ 1995)
- 特性変数変換: $\mathbf{W}_{i+s} = \mathbf{L}_i \mathbf{U}_{i+s}$, ($s = -2, \dots, 2$ for MP5)
- $\mathbf{W}_{i+1/2}^L, \mathbf{W}_{i-1/2}^R$ を補間で求める
- 逆変換: $\mathbf{U}_{i+1/2}^L = \mathbf{R}_i \mathbf{W}_{i+1/2}^L, \mathbf{U}_{i-1/2}^R = \mathbf{R}_i \mathbf{W}_{i-1/2}^R$



特性変数変換

- ◎ 固有行列を計算するのが面倒
 - MHDでは固有値の縮退
 - プログラムミス多発!!
- ◎ 固有行列が明らかでない系では使えない
- ◎ CANS+に実装済み

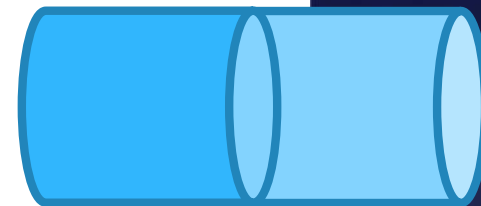
基本変数に対する固有行列 (Stone+98)

$$\mathbf{L} = \begin{bmatrix} 0 & -N_f C_{ff} & N_f Q_s \beta_y & N_f Q_s \beta_z & N_f \alpha_f / \rho & N_f A_s \beta_y / \rho & N_f A_s \beta_z / \rho \\ 0 & 0 & -\beta_z / 2 & \beta_y / 2 & 0 & -\beta_z S / (2\sqrt{\rho}) & \beta_y S / (2\sqrt{\rho}) \\ 0 & -N_s C_{ss} & -N_s Q_f \beta_y & -N_s Q_f \beta_z & N_s \alpha_s / \rho & -N_s A_f \beta_y / \rho & -N_s A_f \beta_z / \rho \\ 1 & 0 & 0 & 0 & -1/a^2 & 0 & 0 \\ 0 & N_s C_{ss} & N_s Q_f \beta_y & N_s Q_f \beta_z & N_s \alpha_s / \rho & -N_s A_f \beta_y / \rho & -N_s A_f \beta_z / \rho \\ 0 & 0 & \beta_z / 2 & -\beta_y / 2 & 0 & -\beta_z S / (2\sqrt{\rho}) & \beta_y S / (2\sqrt{\rho}) \\ 0 & N_f C_{ff} & -N_f Q_s \beta_y & -N_f Q_s \beta_z & N_f \alpha_f / \rho & N_f A_s \beta_y / \rho & N_f A_s \beta_z / \rho \end{bmatrix}$$

$$\mathbf{R} = \begin{bmatrix} \rho \alpha_f & 0 & \rho \alpha_s & 1 & \rho \alpha_s & 0 & \rho \alpha_f \\ -C_{ff} & 0 & -C_{ss} & 0 & C_{ss} & 0 & C_{ff} \\ Q_s \beta_y & -\beta_z & -Q_f \beta_y & 0 & Q_f \beta_y & \beta_z & -Q_s \beta_y \\ Q_s \beta_z & \beta_y & -Q_f \beta_z & 0 & Q_f \beta_z & -\beta_y & -Q_s \beta_z \\ \rho a^2 \alpha_f & 0 & \rho a^2 \alpha_s & 0 & \rho a^2 \alpha_s & 0 & \rho a^2 \alpha_f \\ A_s \beta_y & -\beta_z S \sqrt{\rho} & -A_f \beta_y & 0 & -A_f \beta_y & -\beta_z S \sqrt{\rho} & A_s \beta_y \\ A_s \beta_z & \beta_y S \sqrt{\rho} & -A_f \beta_z & 0 & -A_f \beta_z & \beta_y S \sqrt{\rho} & A_s \beta_z \end{bmatrix}$$

$$\begin{aligned}
 C_{ff} &= C_f \alpha_f, & C_{ss} &= C_s \alpha_s, & \alpha_f^2 &= \frac{a^2 - C_s^2}{C_f^2 - C_s^2}, & \alpha_s^2 &= \frac{C_f^2 - a^2}{C_f^2 - C_s^2}, & N_f &= N_s = \frac{1}{2a^2} \\
 Q_f &= C_f \alpha_f S, & Q_s &= C_s \alpha_s S, & \beta_y &= \frac{b_y}{\sqrt{b_y^2 + b_z^2}}, & \beta_z &= \frac{b_z}{\sqrt{b_y^2 + b_z^2}}. \\
 A_f &= a \alpha_f \sqrt{\rho}, & A_s &= a \alpha_s \sqrt{\rho},
 \end{aligned}$$

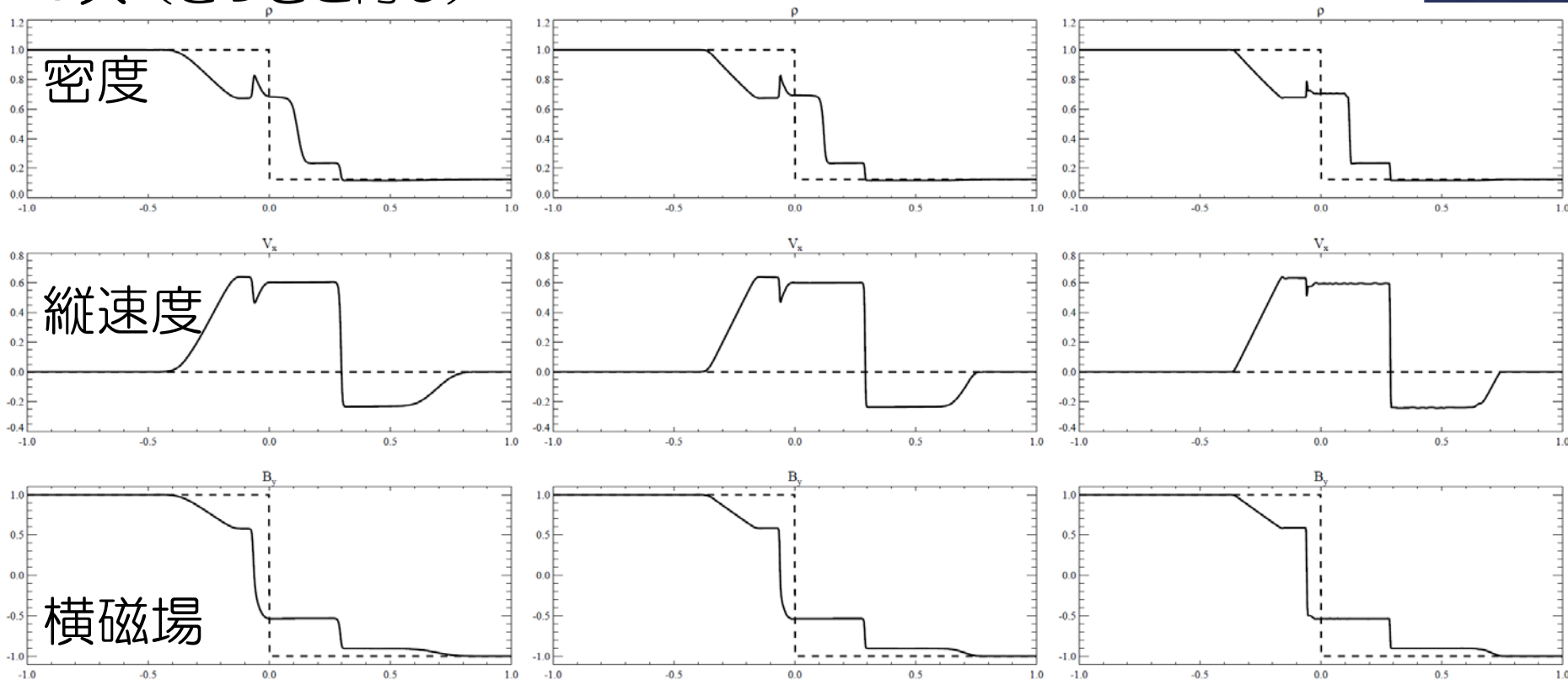
衝撃波管問題 (Brio+ 1988)



1次 (さっきと同じ)

MUSCL-MM

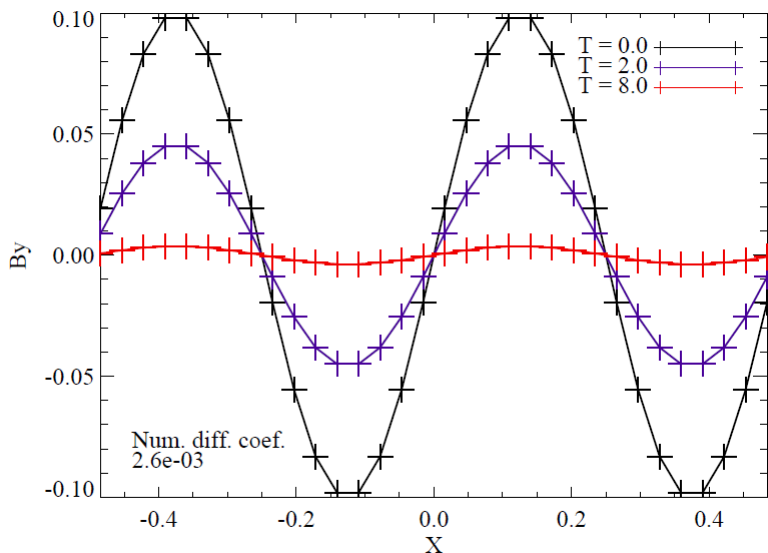
MP5



HLLD, 特性変数変換

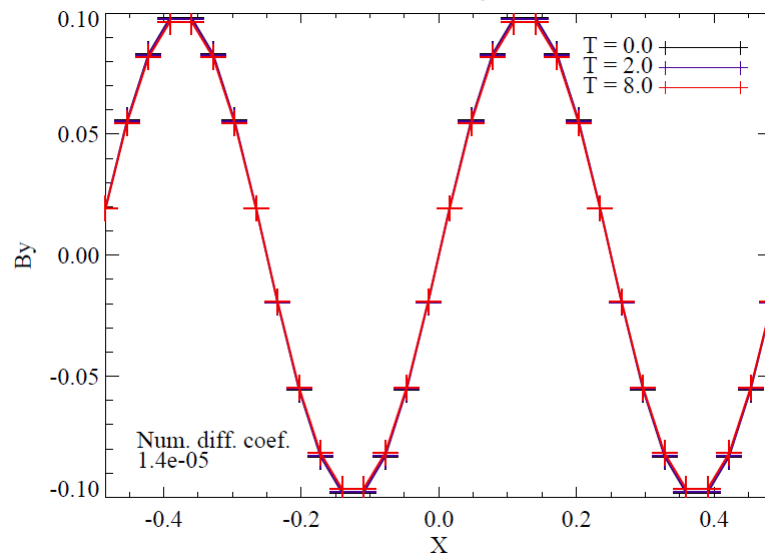
アルフベン波：2次 vs. 5次

MUSCL-MM



$$\eta = 2.6 \times 10^{-3}$$

MP5

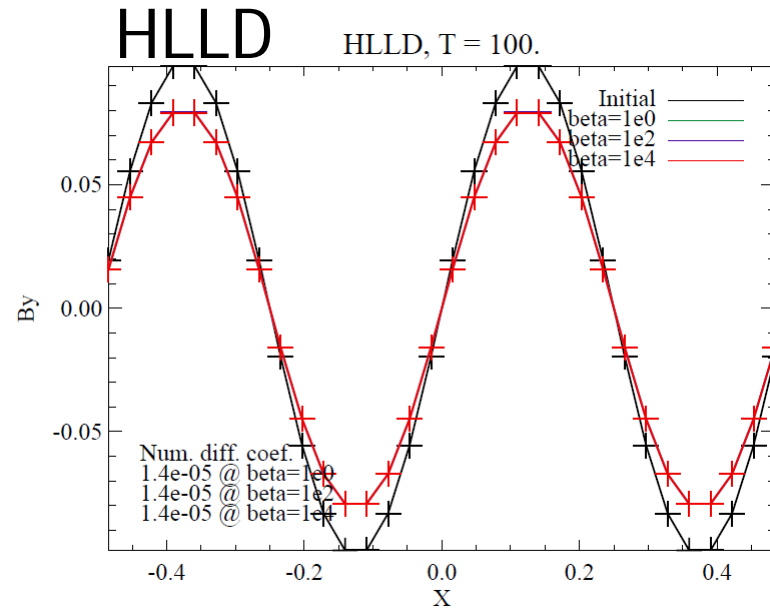
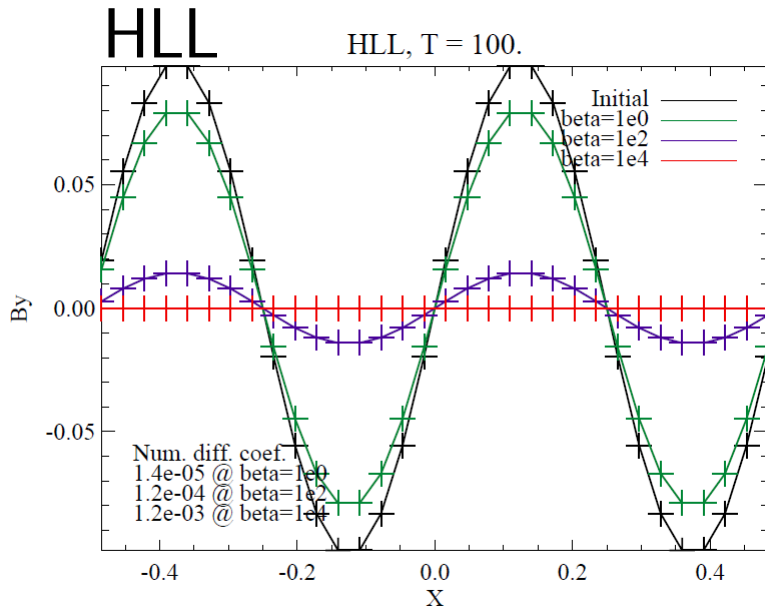


$$\eta = 1.4 \times 10^{-5}$$

HLLD使用

- ⦿ プラズマ中で情報を伝える非圧縮性波動
- ⦿ 高次精度化で数値減衰を軽減

アルフベン波：HLL vs. HLLD



Diff. coefficient	HLL	HLLD
$\beta=1e0$	1.4e-5	1.4e-5
$\beta=1e2$	1.2e-4	1.4e-5
$\beta=1e4$	1.2e-3	1.4e-5

- ◎ ガス圧>>磁気圧の場合は高解像度リーマンソルバが重要
 (Minoshima+15)

$$\eta_{HLL} \approx (C_f - V_A) \Delta x \propto \beta^{1/2}$$

2次元理想MHD方程式

$$\frac{\partial \mathbf{U}}{\partial t} + \frac{\partial \mathbf{F}}{\partial x} + \frac{\partial \mathbf{G}}{\partial y} = 0,$$

$$\mathbf{U} = (\rho, \rho u, \rho v, \rho w, B_x, B_y, B_z, e)^T,$$

$$\mathbf{F} = \begin{pmatrix} \rho u \\ \rho uu - B_x B_x + p + \mathbf{B}^2 / 2 \\ \rho vu - B_x B_y \\ \rho wu - B_x B_z \\ 0 \\ B_y u - B_x v \\ B_z u - B_x w \\ (e + p + \mathbf{B}^2 / 2)u - B_x (\mathbf{u} \cdot \mathbf{B}) \end{pmatrix}, \quad \mathbf{G} = \begin{pmatrix} \rho v \\ \rho uv - B_y B_x \\ \rho vv - B_y B_y + p + \mathbf{B}^2 / 2 \\ \rho wv - B_y B_z \\ B_x v - B_y u \\ 0 \\ B_z v - B_y w \\ (e + p + \mathbf{B}^2 / 2)v - B_y (\mathbf{u} \cdot \mathbf{B}) \end{pmatrix}.$$

MHDコードの多次元化

U: 保存量ベクトル
F: X方向の流束ベクトル
G: Y方向の流束ベクトル

$$\frac{\partial \mathbf{U}}{\partial t} + \frac{\partial \mathbf{F}}{\partial x} + \frac{\partial \mathbf{G}}{\partial y} = 0, \Rightarrow \frac{d\mathbf{U}_{i,j}}{dt} = -\frac{\mathbf{F}_{i+1/2,j} - \mathbf{F}_{i-1/2,j}}{\Delta x} - \frac{\mathbf{G}_{i,j+1/2} - \mathbf{G}_{i,j-1/2}}{\Delta y}.$$

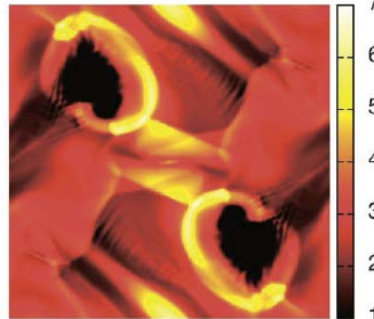
◎ 1次元数値解法の利用

$$\mathbf{F}_{i+1/2,j} = \text{Riemann}(\mathbf{U}_{i+1/2,j}^L, \mathbf{U}_{i+1/2,j}^R),$$

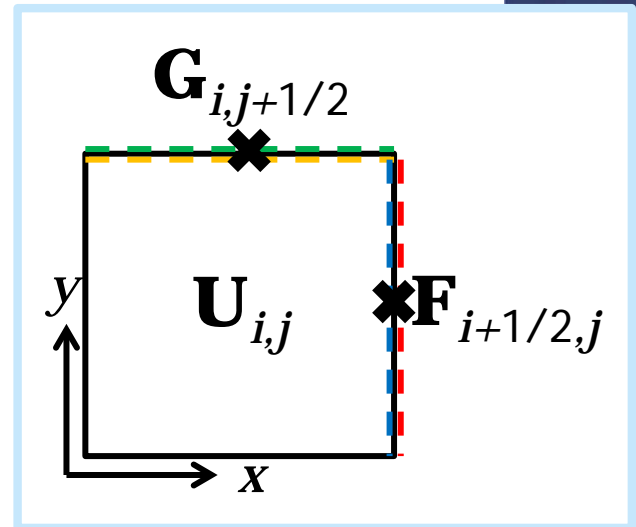
$$\mathbf{G}_{i,j+1/2} = \text{Riemann}(\mathbf{U}_{i,j+1/2}^L, \mathbf{U}_{i,j+1/2}^R),$$

- 同じタイミングで求めるUnsplit法

◎ 磁場発散の処理



数値的な $\text{div} \mathbf{B} \neq 0$ で計算
 破綻 (三好, 2014)



磁場発散の処理

- ◎ Constrained Transport (CT) 法 (Evans+ 1988)
 - $\text{div}\mathbf{B}=0$ を離散化レベルで保証する特殊なグリッド配置
- ◎ Central Difference (CD) 法 (Toth 2000)
 - 磁場について中心差分法
- ◎ プロジェクション法 (Brackbill+ 1980)
 - ポアソン方程式を解いて磁場修正
- ◎ 移流拡散法 (Powell 1999, Dedner+ 2002)
 - 有限の $\text{div}\mathbf{B}$ を移流拡散方程式や電信方程式で処理

プロジェクション法/CT法

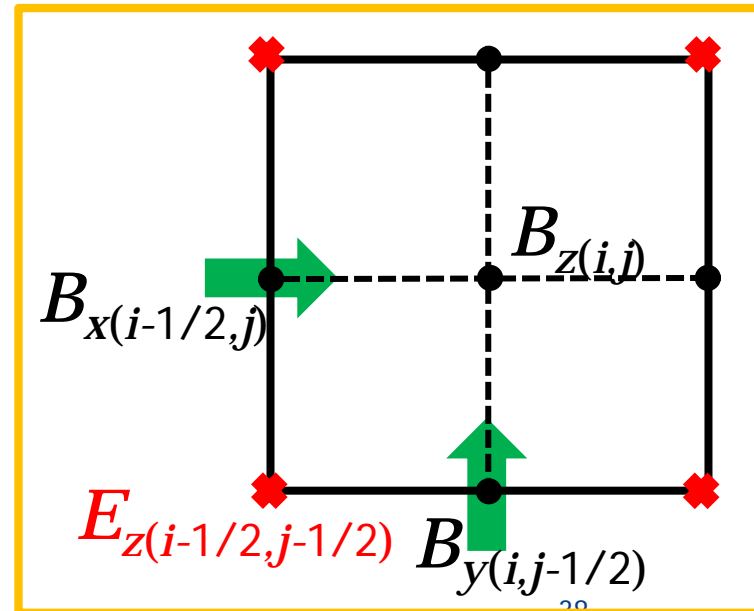
○ プロジェクション法

$$\mathbf{B}^{n+1} = \mathbf{B}^* + \nabla \phi, \Rightarrow \Delta \phi = -\nabla \cdot \mathbf{B}^* .$$

- \mathbf{B}^* : MHDシミュレーションで得た解 (div \mathbf{B} 誤差有)
- \mathbf{B}^{n+1} : div $\mathbf{B}=0$ を満たす真の解
- ポアソン方程式解いて ϕ 得る $\Rightarrow \mathbf{B}^*$ を \mathbf{B}^{n+1} へ更新

○ CT法

- セル境界面中心に垂直磁場を配置
- セル角の電場を求める (e.g., Balsara+99)
- $\partial \mathbf{B} / \partial t = -\nabla \times \mathbf{E}$.



移流拡散法 (CANS+に実装)

◎ 9-wave法 (Dedner+ 2002)

- $\text{div}\mathbf{B}$ を掃除するため方程式を修正

$$\frac{\partial \mathbf{B}}{\partial t} + \nabla \times \mathbf{E} + \nabla \phi = 0, \quad \frac{\partial \phi}{\partial t} + c_h^2 \nabla \cdot \mathbf{B} = -\frac{c_h^2}{c_p^2} \phi$$

- \mathbf{B} と ϕ について整理すると...電信方程式

$$\left[\frac{\partial^2}{\partial t^2} + \frac{c_h^2}{c_p^2} \frac{\partial}{\partial t} \right] (\nabla \cdot \mathbf{B}) = c_h^2 \nabla^2 (\nabla \cdot \mathbf{B}),$$

- ◎ 実装しやすく計算負荷も少ない

移流拡散法

○ 1次元の場合

$$\frac{\partial}{\partial t} \begin{pmatrix} \mathbf{B}_x \\ \phi \end{pmatrix} + \begin{pmatrix} 0 & 1 \\ c_h^2 & 0 \end{pmatrix} \frac{\partial}{\partial \mathbf{x}} \begin{pmatrix} \mathbf{B}_x \\ \phi \end{pmatrix} = \begin{pmatrix} 0 \\ -(c_h^2 / c_p^2) \phi \end{pmatrix},$$

演算子分離

$$\frac{\partial}{\partial t} \begin{pmatrix} \mathbf{B}_x \\ \phi \end{pmatrix} + \begin{pmatrix} 0 & 1 \\ c_h^2 & 0 \end{pmatrix} \frac{\partial}{\partial \mathbf{x}} \begin{pmatrix} \mathbf{B}_x \\ \phi \end{pmatrix} = 0,$$

固有値（伝播速度） $\pm c_h$

$$\frac{\partial \phi}{\partial t} = -(c_h^2 / c_p^2) \phi,$$

$$\phi^* = \exp[-(c_h^2 / c_p^2) \Delta t] \phi^n,$$

c_h : CFL条件から決める最大値

c_p : $(0.18c_h)^{(1/2)}$ （経験的な値）

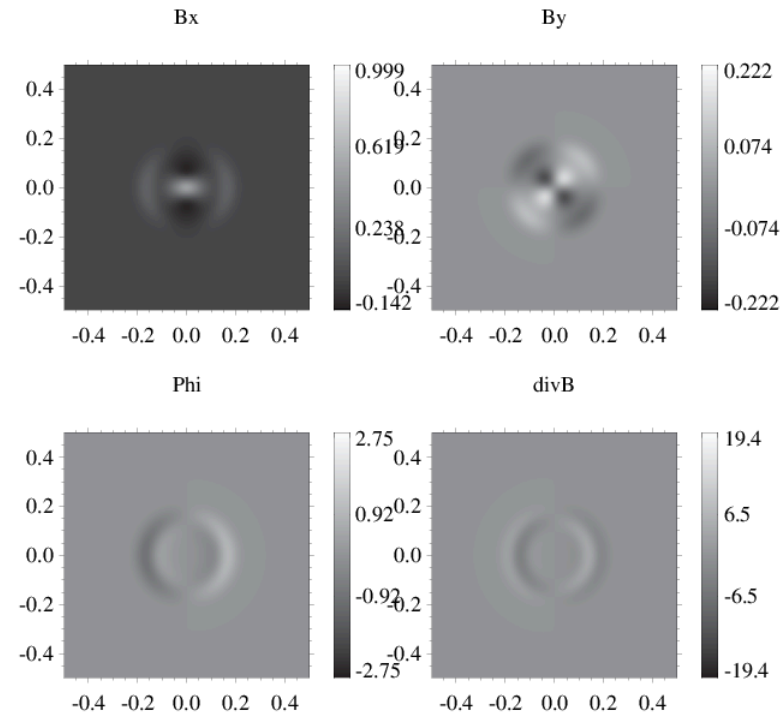
移流拡散法

$$\frac{\partial}{\partial t} \begin{pmatrix} \mathbf{B}_x \\ \phi \end{pmatrix} + \begin{pmatrix} 0 & 1 \\ c_h^2 & 0 \end{pmatrix} \frac{\partial}{\partial \mathbf{x}} \begin{pmatrix} \mathbf{B}_x \\ \phi \end{pmatrix} = 0,$$

⊙ Lax-Friedrichs flux splitting

$$\phi_{i+1/2} = \frac{1}{2} (\phi_{i+1/2}^L + \phi_{i+1/2}^R) - \frac{c_h}{2} (\mathbf{B}_{x,i+1/2}^R - \mathbf{B}_{x,i+1/2}^L),$$

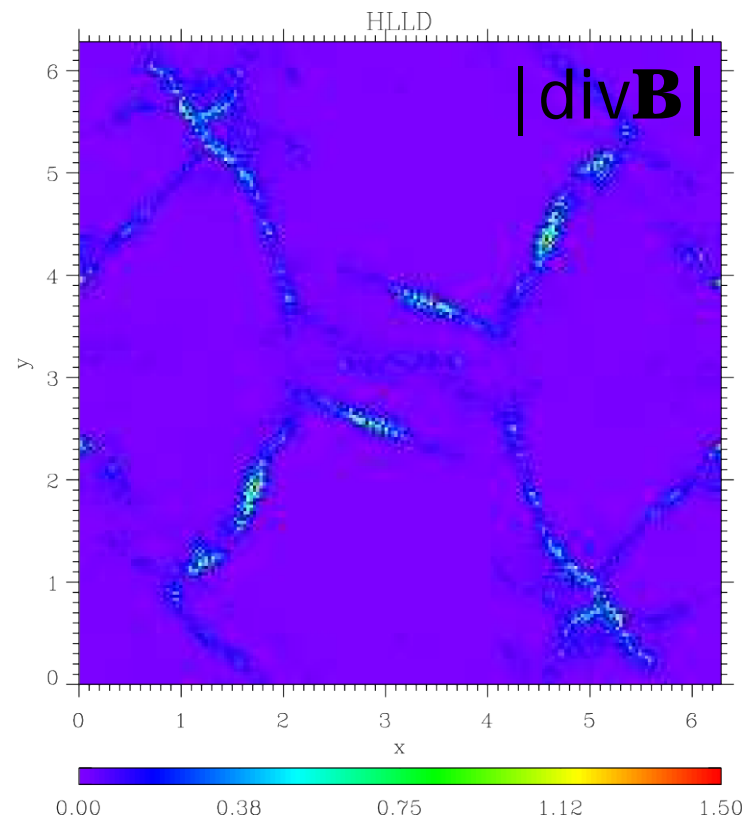
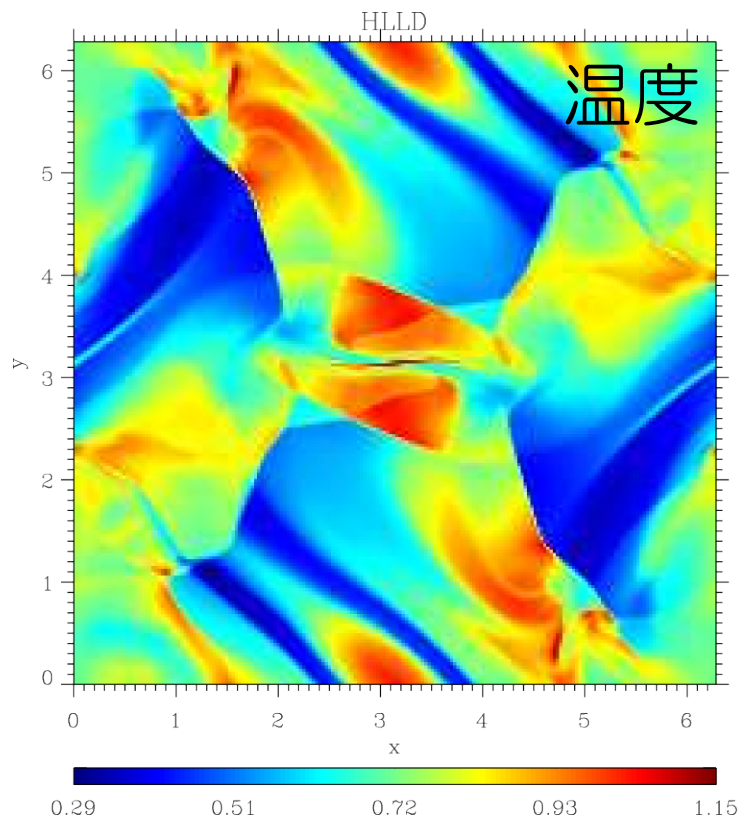
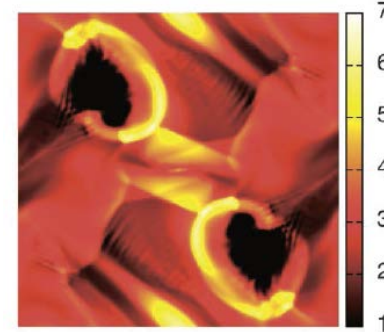
$$c_h^2 \mathbf{B}_{x,i+1/2} = \frac{c_h^2}{2} (\mathbf{B}_{x,i+1/2}^L + \mathbf{B}_{x,i+1/2}^R) - \frac{c_h}{2} (\phi_{i+1/2}^R - \phi_{i+1/2}^L).$$



$\text{div}\mathbf{B}\neq 0$ ケアしないと...

2D MHD with 9-wave

Orszag-Tang 渦問題



<http://www.astro.phys.s.chiba-u.ac.jp/cans/doc/riemann.html#id23>

ケルビン・ヘルムホルツ不安定



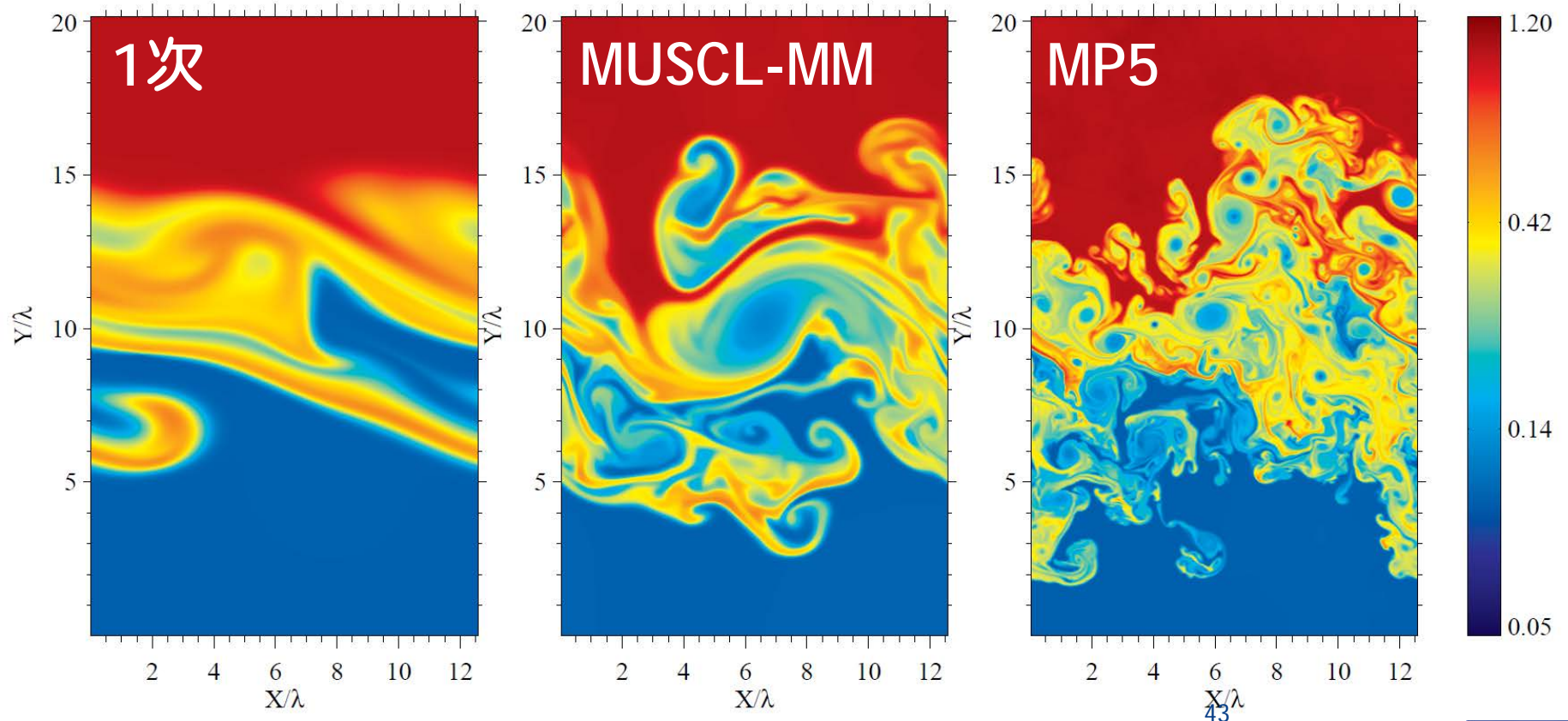
- 速度差がある流体の間で発生する不安定
- HLLD使用

$T = 135.24$

HLLD

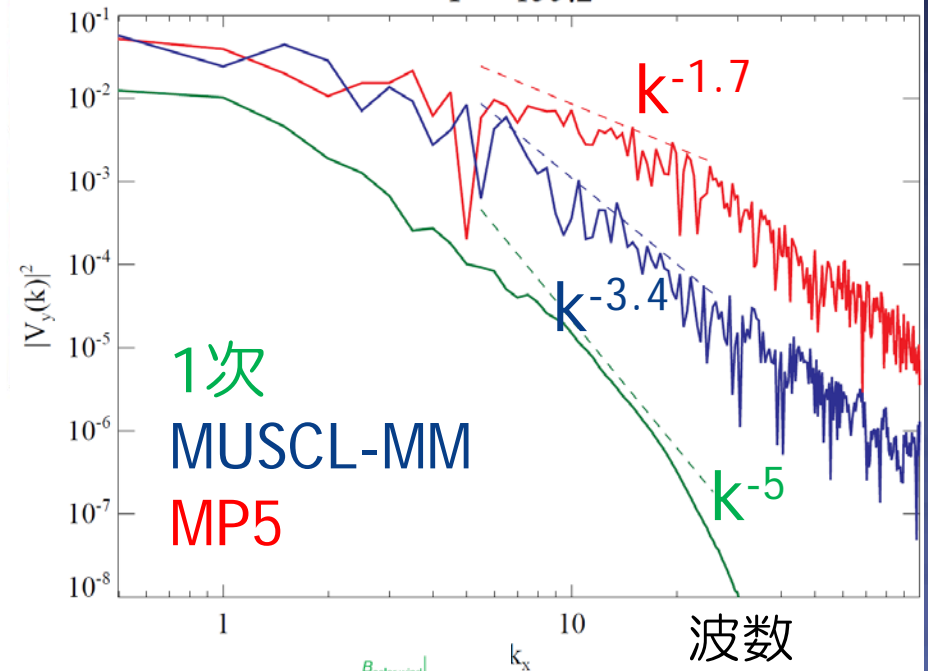
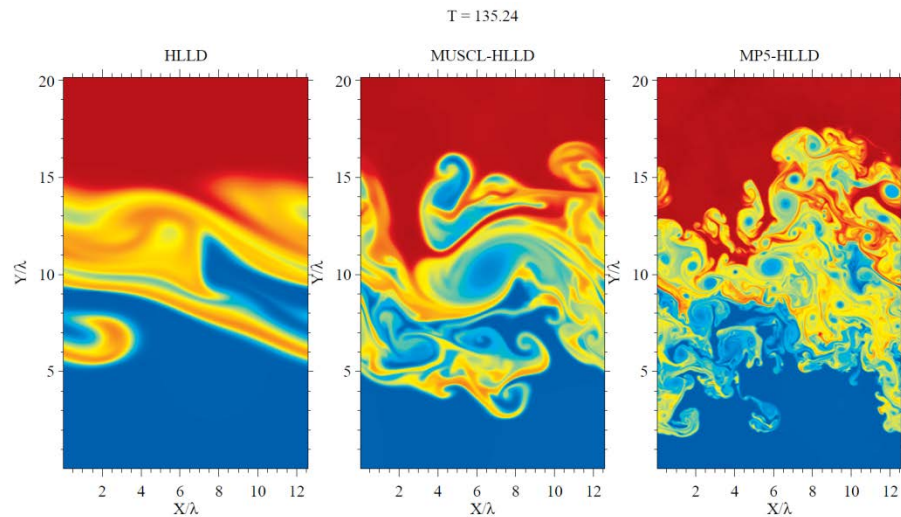
MUSCL-HLLD

MP5-HLLD



ケルビン・ヘルムホルツ不安定

速度のパワースペクトル

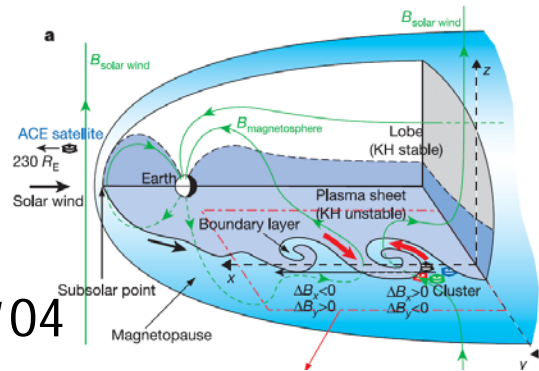


◎ 二次的不安定で乱流発展
(Matsumoto+ '06)

◎ 物質混合の促進

- 太陽風-磁気圏相互作用シナリオ

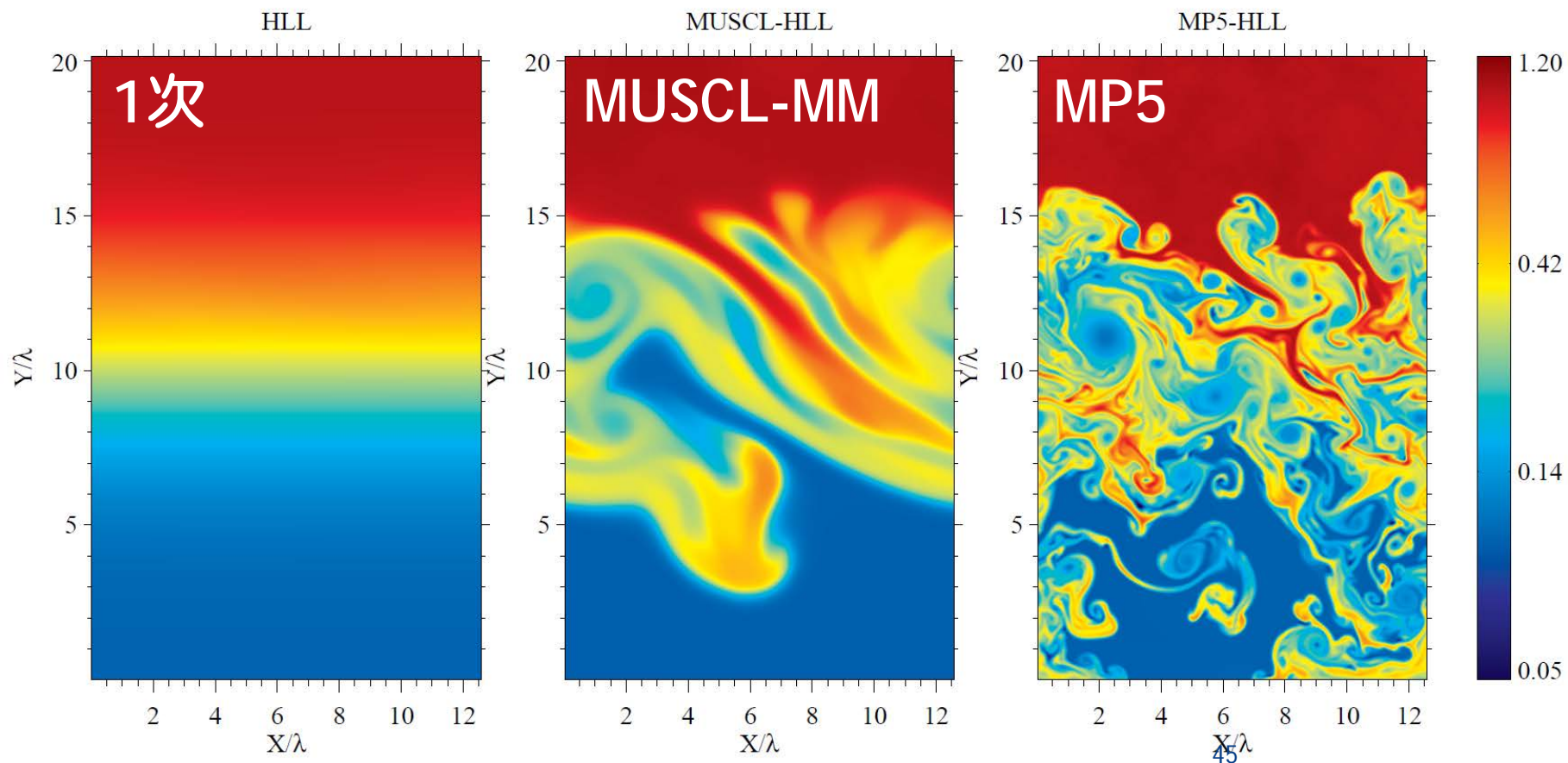
Hasegawa+ '04



ケルビン・ヘルムホルツ不安定

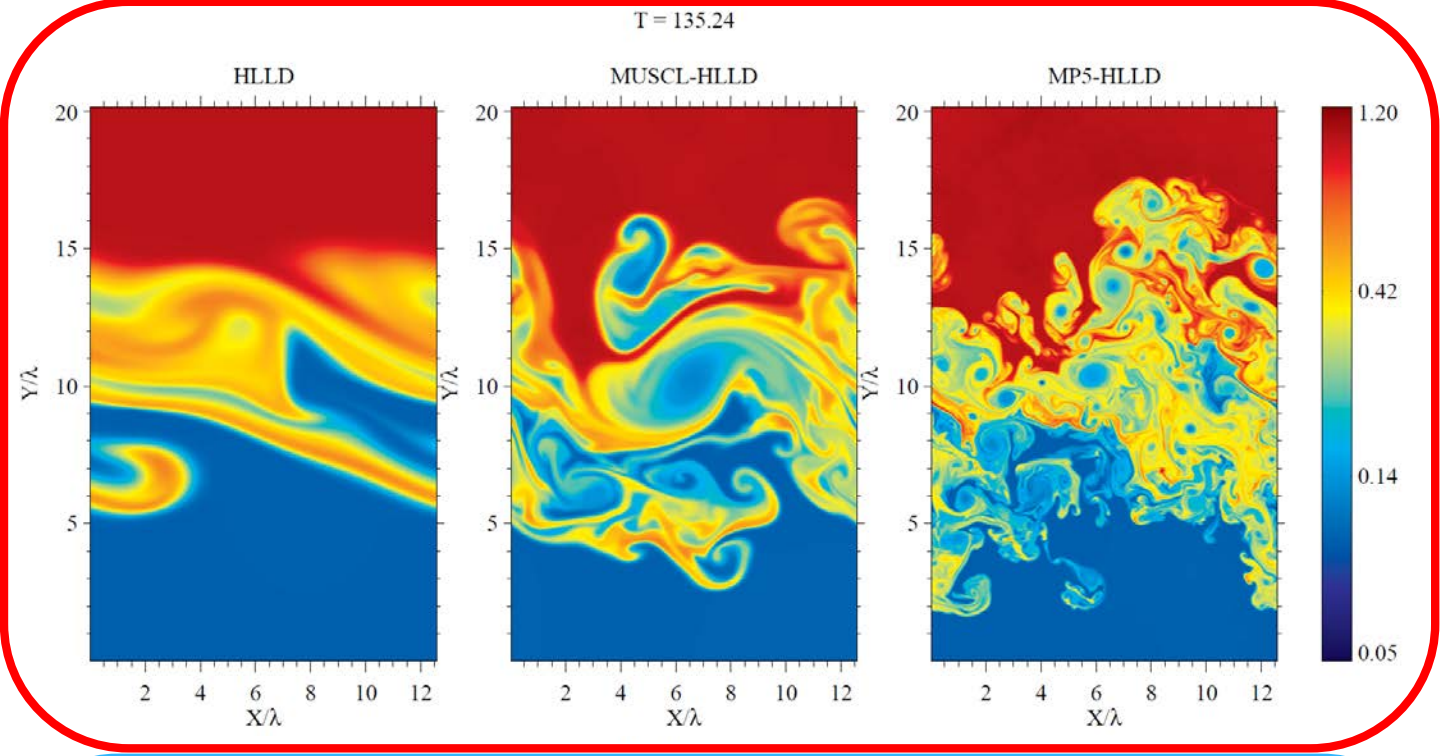
- HLL使用（接触不連続を解像しない）

$T = 135.24$

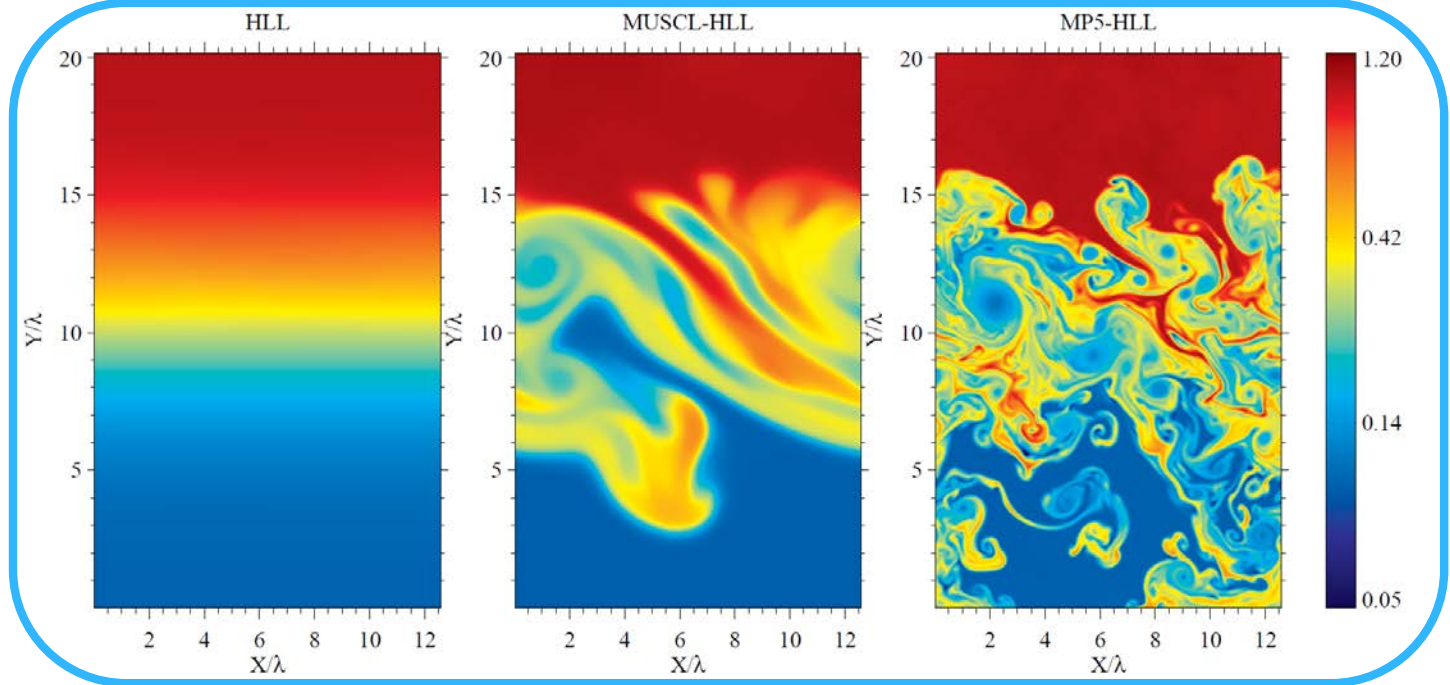


T = 135.24

HLLD



HLL



まとめ

- ◎ 実用的なMHDシミュレーションのためには、**高次精度化と多次元化は必須!!**
- ◎ **高次精度化**
 - 数値振動を抑制する**非線形補間**
 - 特性変数変換
 - リーマンソルバの選択も重要
- ◎ **多次元化**
 - 1次元数値解法の利用
 - **磁場発散**の処理 (CT, プロジェクション, 移流拡散法)